

MRI hodnocení levé komory

Pleva Martin

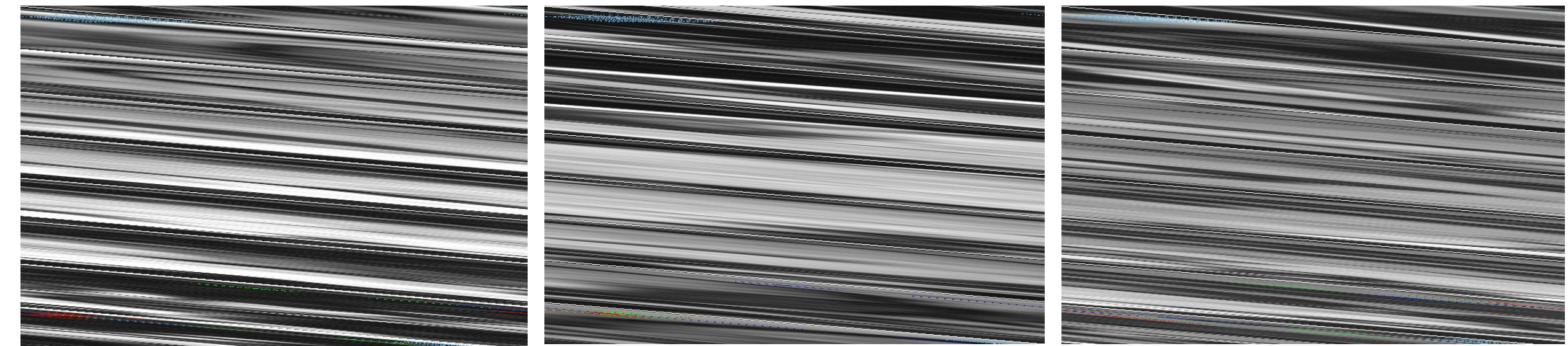
Nemocnice Podlesí, a.s., Třinec

Vítkovická nemocnice, a.s., Ostrava

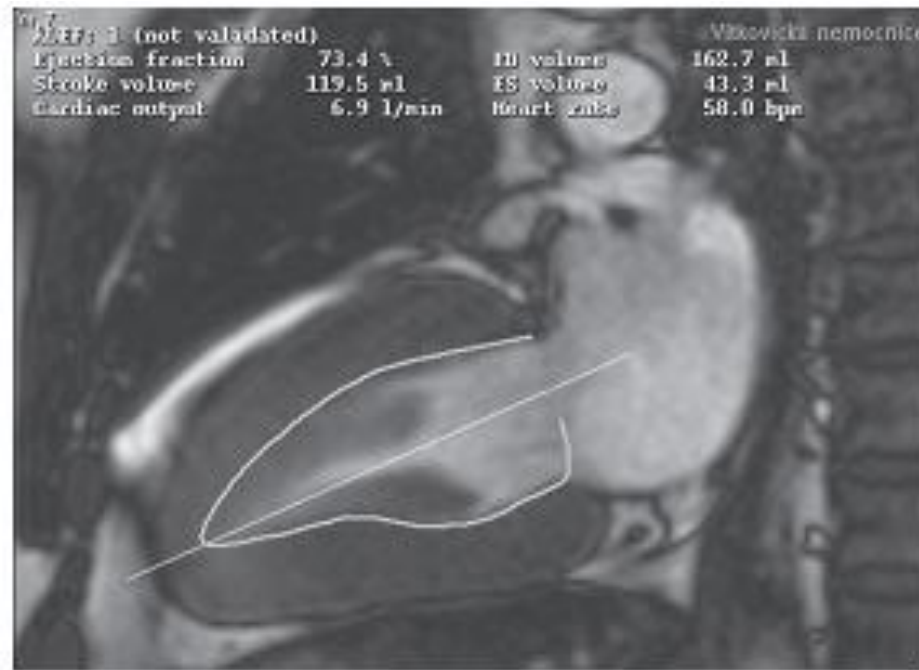
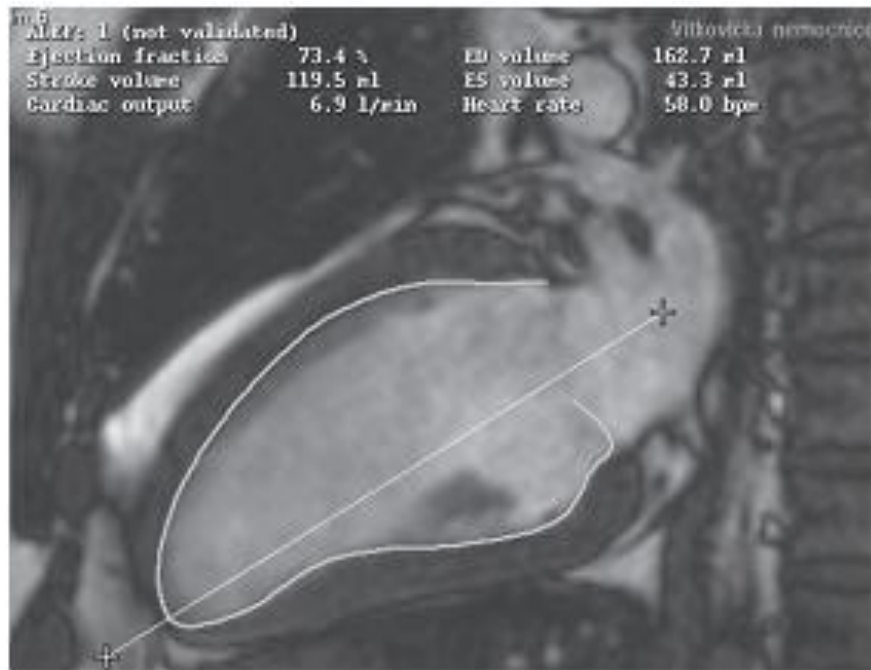
MRI hodnocení LK

- velikost a tvar LK, hmotnost myokardu LK (LVM)
- systolická funkce
- diastolická funkce
- charakteristika stěn LK:
 - diametr
 - kinetika
 - struktura (tkáňová charakteristika)

Objemy a systolická funkce



Rovnice plocha – délka



$$\text{Objem LK} = 0,85 \times \text{plocha}^2 / \text{délka}$$

Simpson's rule

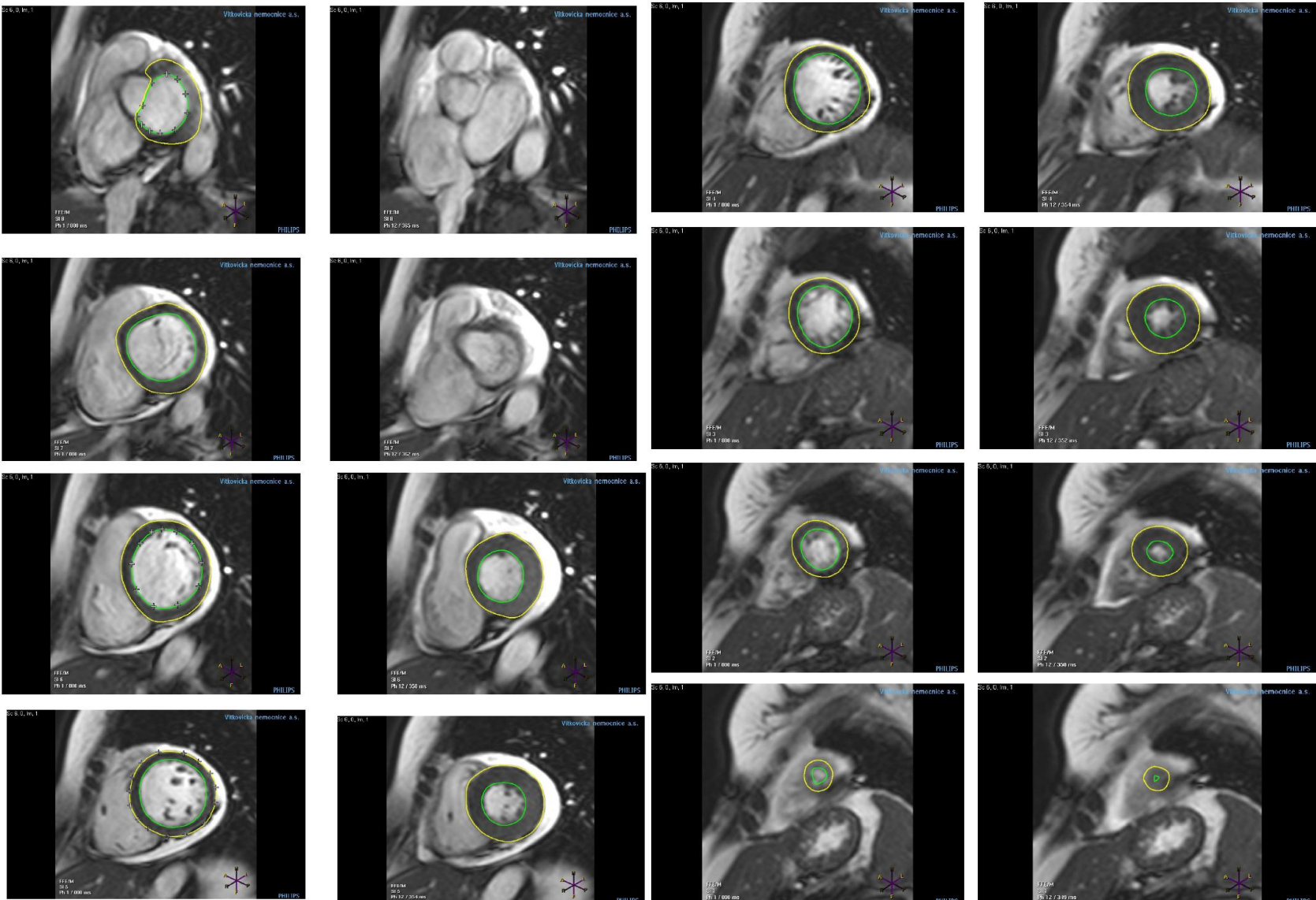
EDV/EDVI

ESV/ESVI

EF LK

SV

LVM



MRI – „zlatý standard“

CMR is recommended for the assessment of myocardial structure and function (including right heart) in subjects with poor acoustic window and patients with complex congenital heart diseases (taking account of cautions/contra-indications to CMR).

I

C

ESC Guidelines for the diagnosis and treatment of acute and chronic heart failure: The Task Force for the diagnosis and treatment of acute and chronic heart failure of the European Society of Cardiology (ESC). Developed with the special contribution of the Heart Failure Association (HFA) of the ESC. *Eur J Heart Fail.* 2016;18(8):891–975.

- diskrepance mezi výsledky předchozích vyšetření/metod
 - ACCF/ACR/SCCT/SCMR/ASNC/NASCI/SCAI/SIR 2006 appropriateness criteria for cardiac computed tomography and cardiac magnetic resonance imaging: a report of the American College of Cardiology Foundation Quality Strategic Directions Committee Appropriateness Criteria Working Group, American College of Radiology, Society of Cardiovascular Computed Tomography, Society for Cardiovascular Magnetic Resonance, American Society of Nuclear Cardiology, North American Society for Cardiac Imaging, Society for Cardiovascular Angiography and Interventions, and Society of Interventional Radiology. *J Am Coll Cardiol.* 2006;48(7):1475–1497.
- před implantací ICD v rámci primární prevence
 - Korean guidelines for appropriate utilization of cardiovascular magnetic resonance imaging: a joint report of the Korean Society of Cardiology and the Korean Society of Radiology. *Korean J Radiol.* 2014;15(6):659-688.

MRI normy

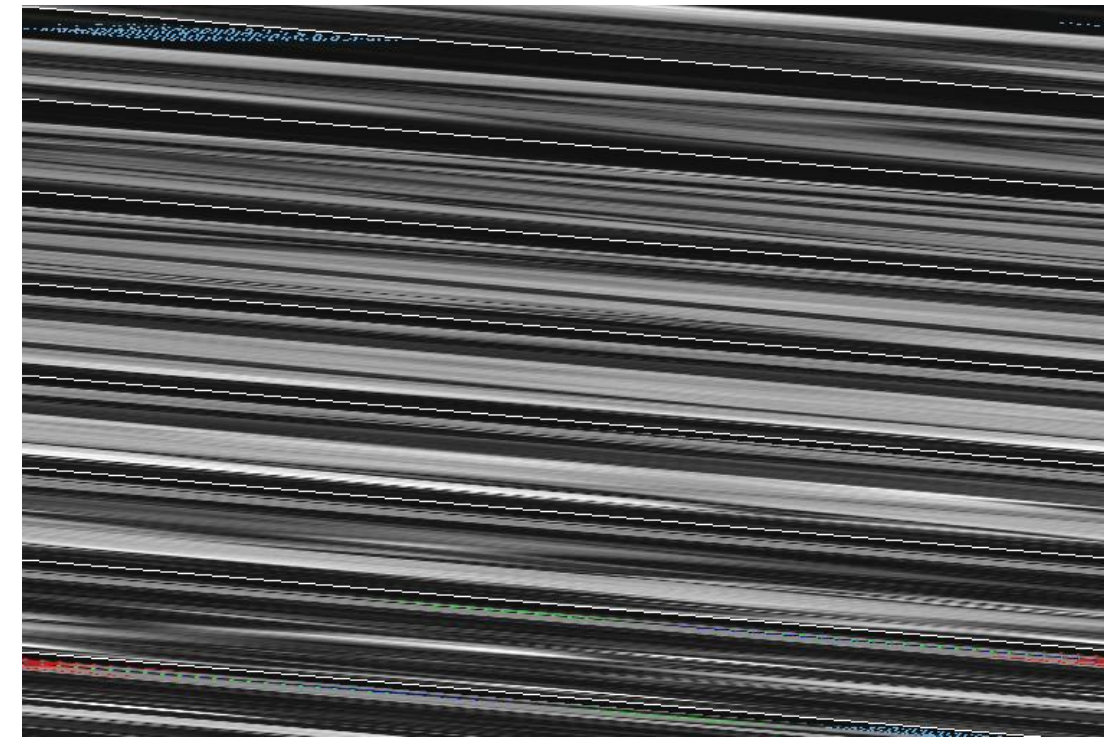
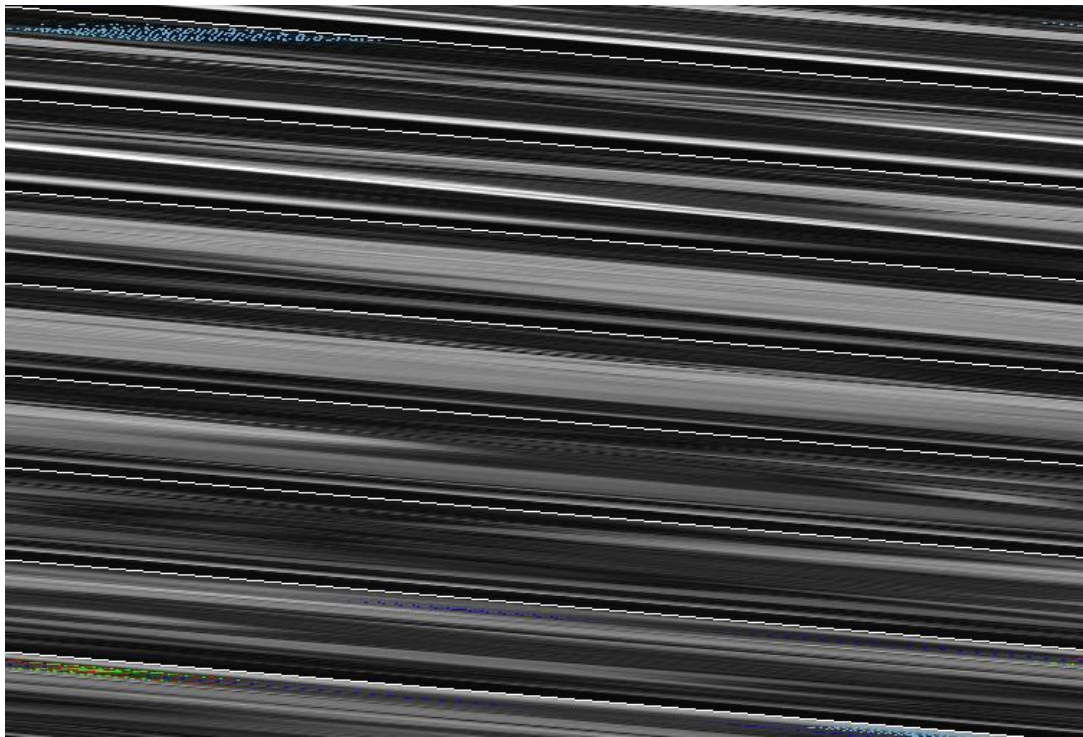
Table 3 Left ventricular parameters, by age and gender [mean \pm SD (lower, upper limits*)]

Parameter	Men		Women	
	<60 years	≥60 years	<60 years	≥60 years
EDV [ml]	161 \pm 21 (119, 203)	148 \pm 21 (106, 190)	132 \pm 21 (90, 174)	120 \pm 21 (78, 162)
EDV /BSA [ml/m ²]	82 \pm 9 (64, 100)	76 \pm 9 (58, 94)	78 \pm 8.7 (61, 95)	69 \pm 8.7 (52, 86)
ESV [ml]	55 \pm 11 (33, 77)	48 \pm 11 (26, 70)	44 \pm 9.5 (25, 63)	38 \pm 9.5 (19, 57)
ESV/BSA [ml/m ²]	28 \pm 5.5 (17, 39)	25 \pm 5.5 (14, 36)	26 \pm 4.7 (17, 35)	22 \pm 4.7 (13, 31)
SV [ml]	106 \pm 14 (78, 134)	100 \pm 14 (72, 128)	88 \pm 14 (60, 116)	82 \pm 14 (54, 110)
SV/BSA [ml/m ²]	55 \pm 6.1 (43, 67)	52 \pm 6.1 (40, 64)	52 \pm 6.2 (40, 64)	47.5 \pm 6.2 (35, 60)
EF [%]	66 \pm 4.5 (57, 75)	68 \pm 4.5 (59, 77)	67 \pm 4.6 (58, 76)	69 \pm 4.6 (60, 78)
Mass [g]	147 \pm 20 (107, 187)	145 \pm 20 (105, 185)	106 \pm 18 (70, 142)	110 \pm 18 (74, 146)
Mass/BSA [g/m ²]	74 \pm 8.5 (57, 91)	73 \pm 8.5 (56, 90)	62 \pm 7.5 (47, 77)	63 \pm 7.5 (48, 78)

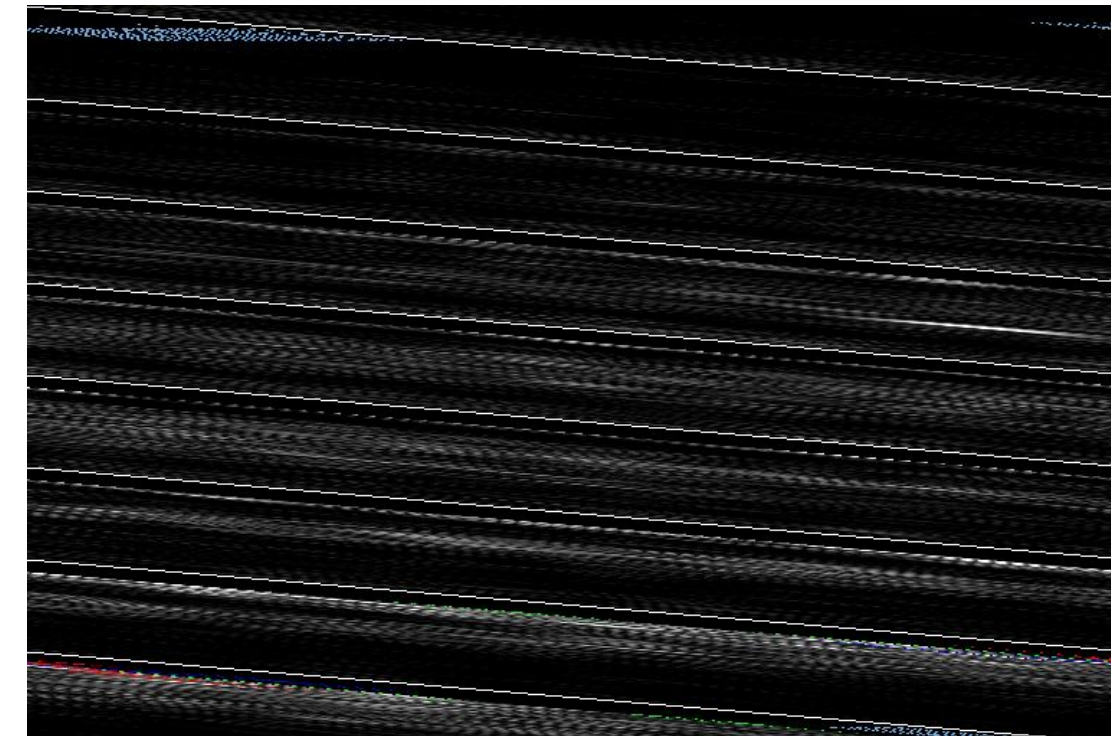
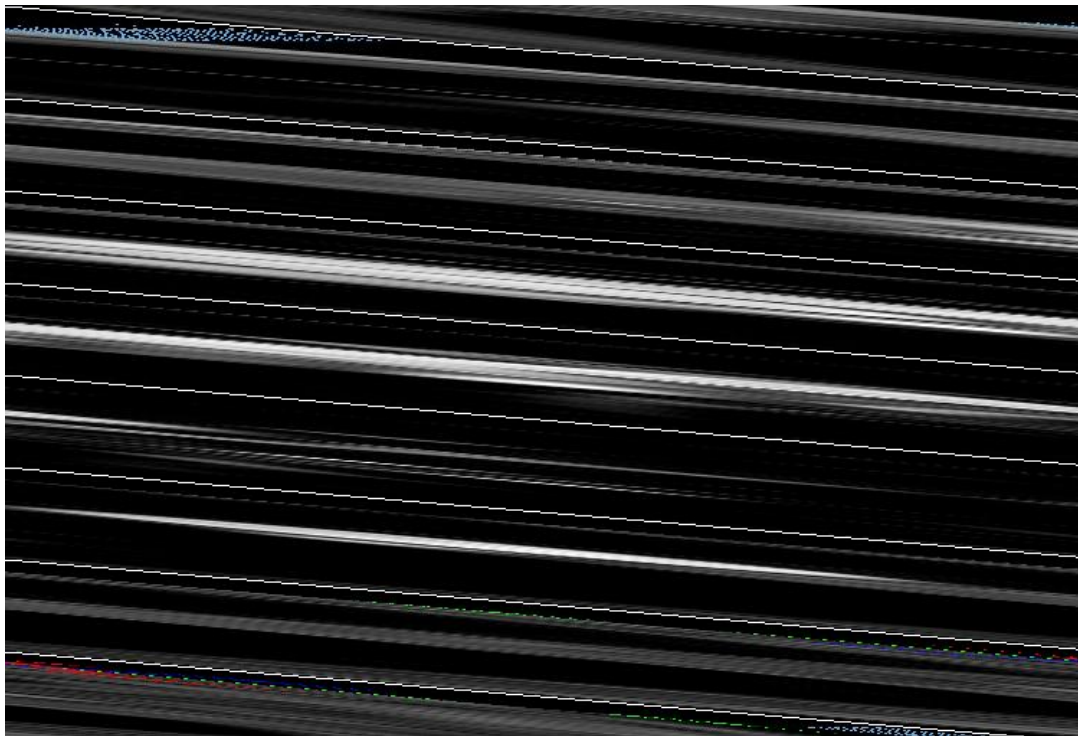
LV papillary muscle mass included as part of LV mass. From reference [5].

* = calculated as mean \pm 2*SD; EDV = end-diastolic volume; ESV = end-systolic volume; SV = stroke volume; EF = ejection fraction; BSA = body surface area; SD = standard deviation.

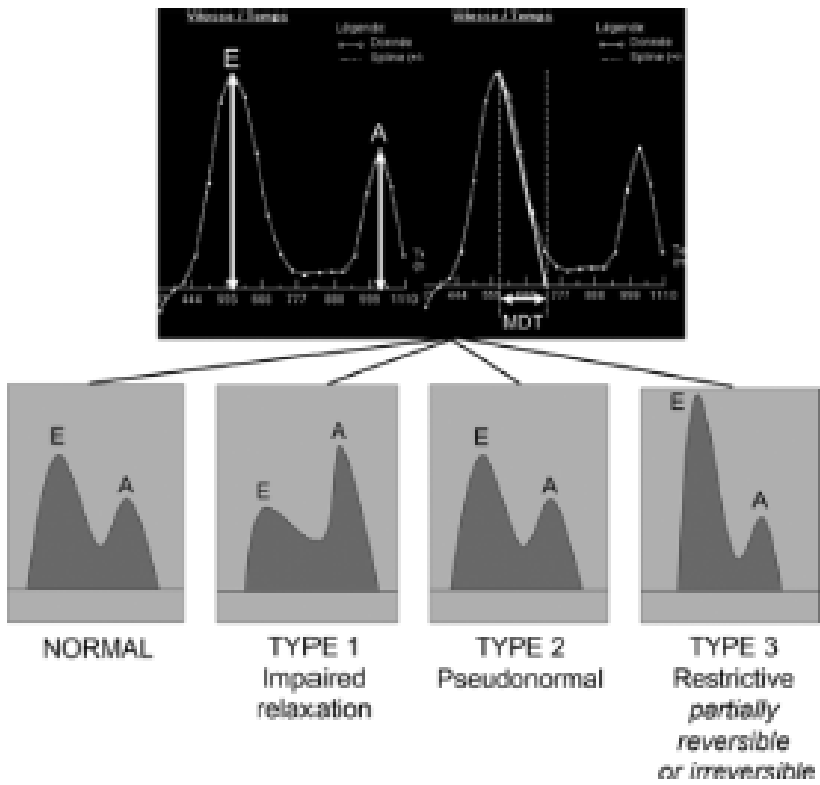
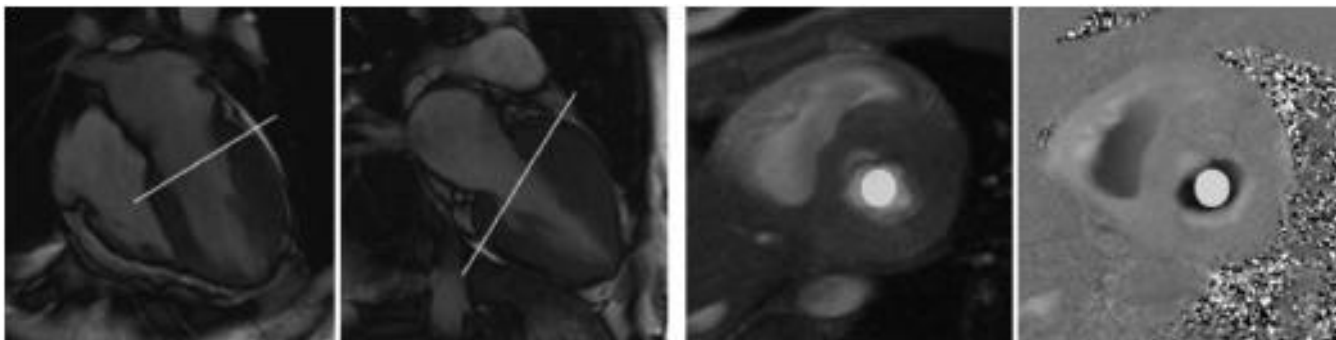
Tvar LK

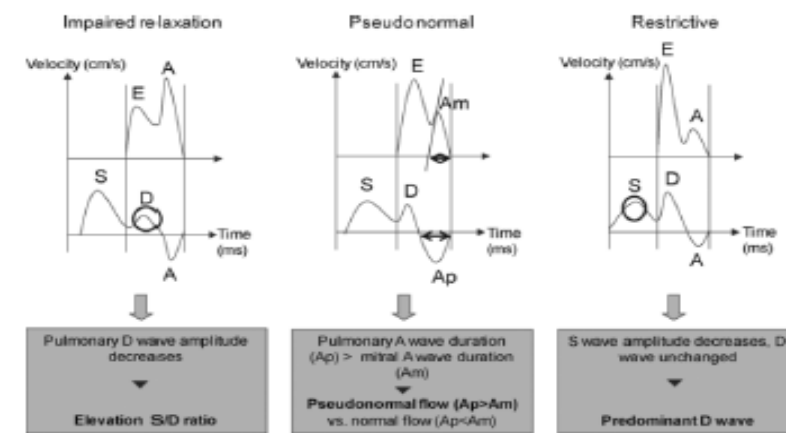
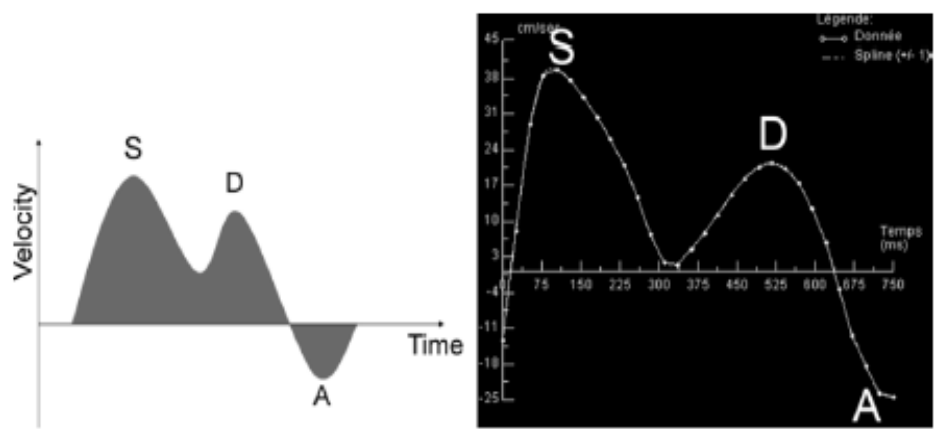
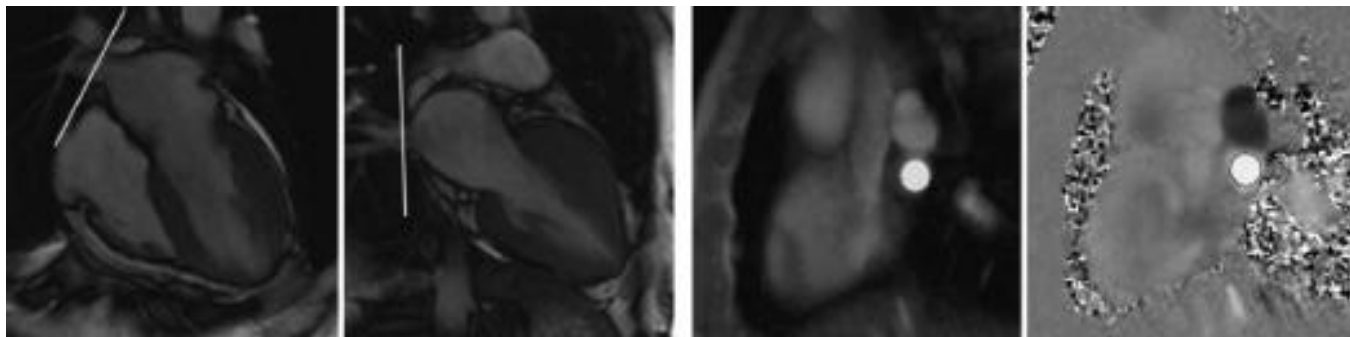


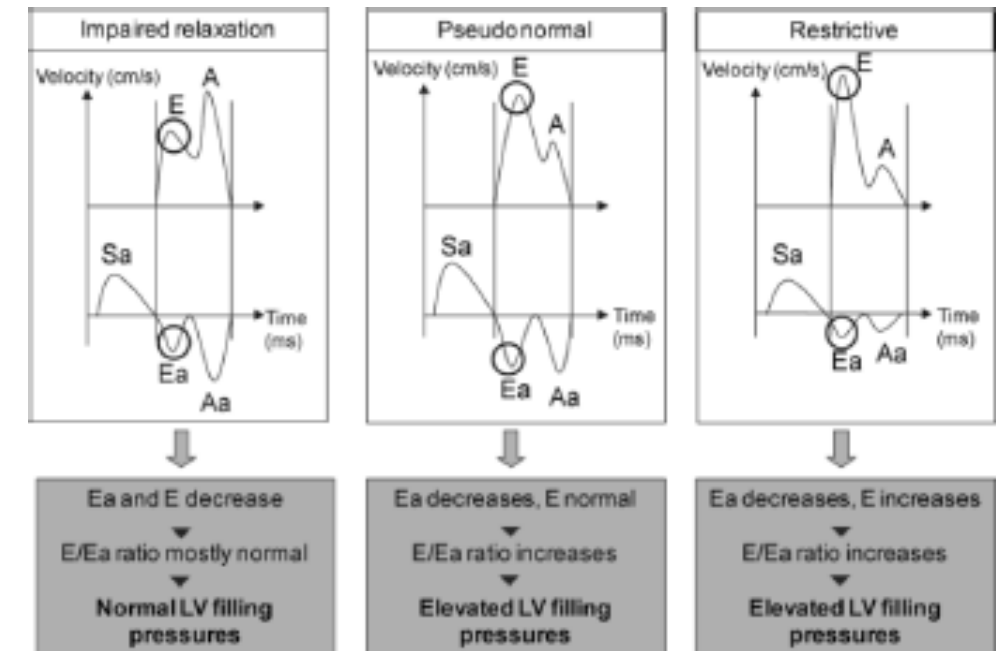
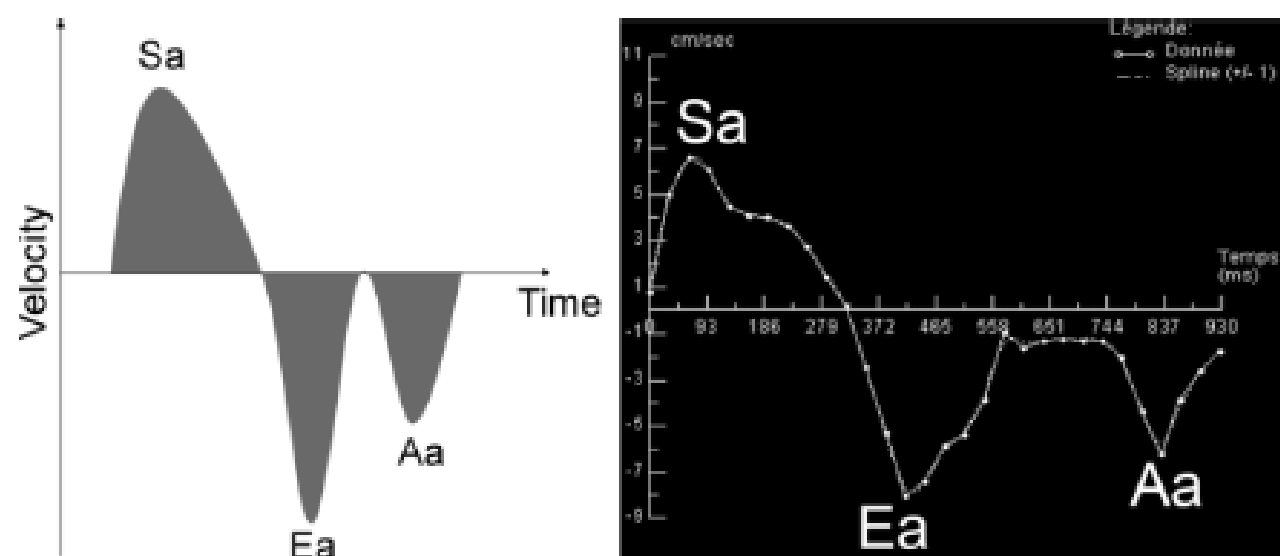
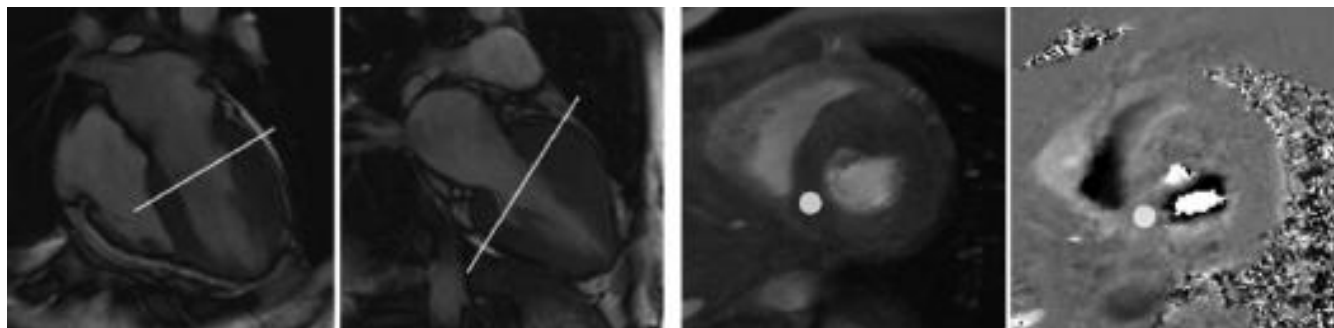
Hodnocení diastolické dysfunkce LK

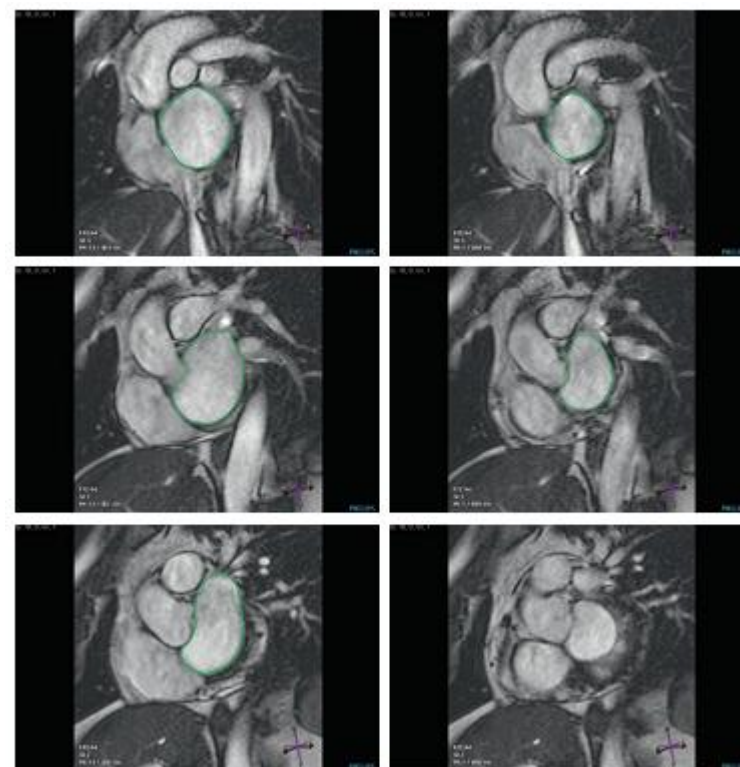
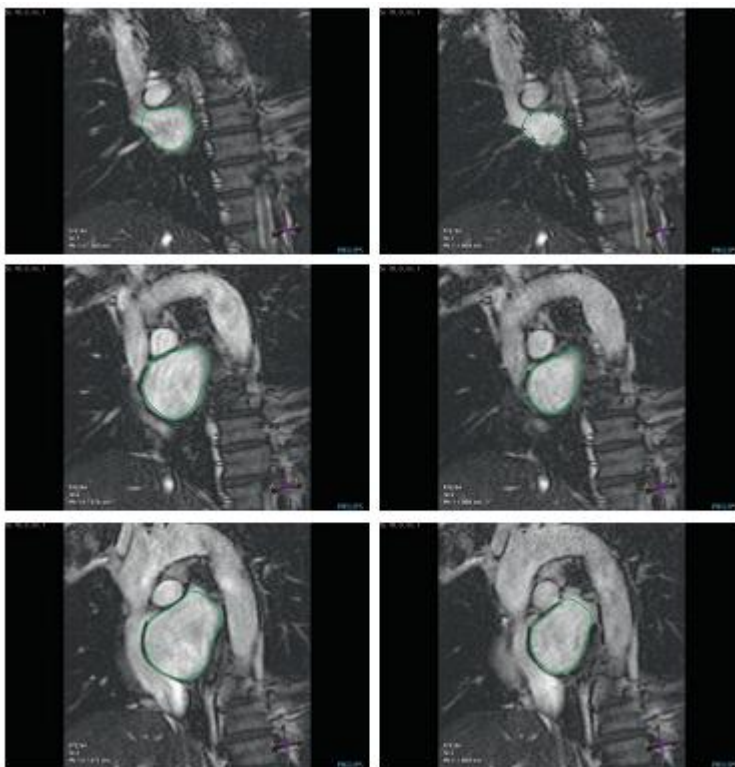
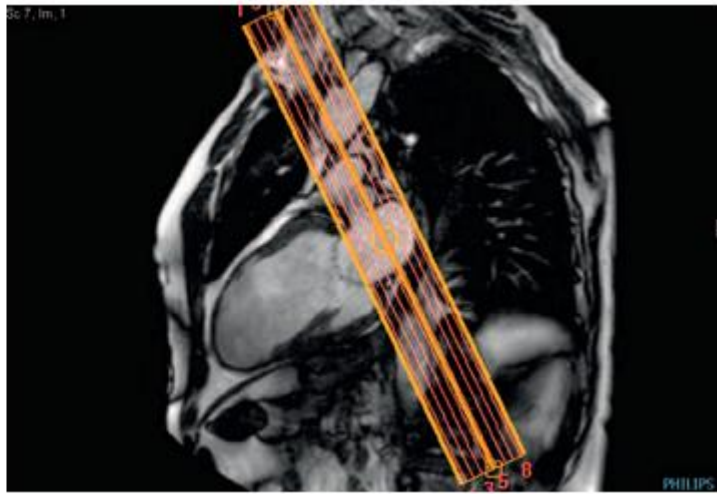
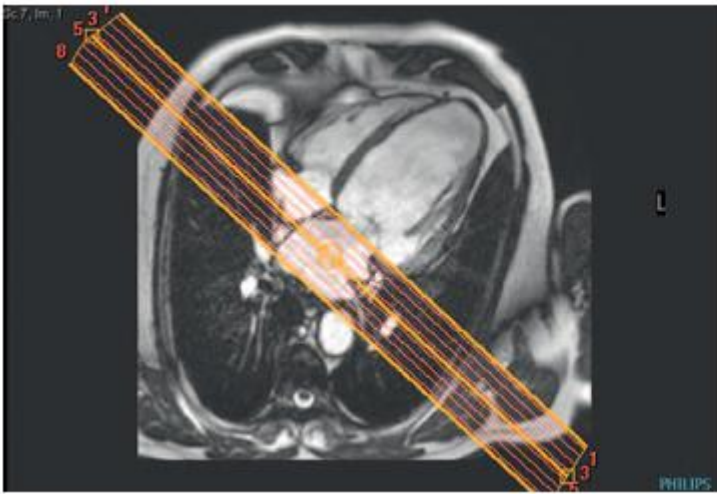


Metoda fázového kontrastu







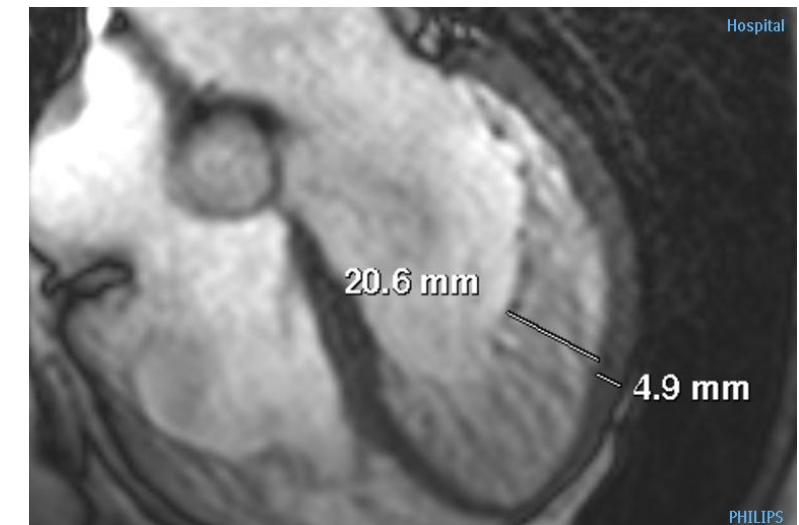
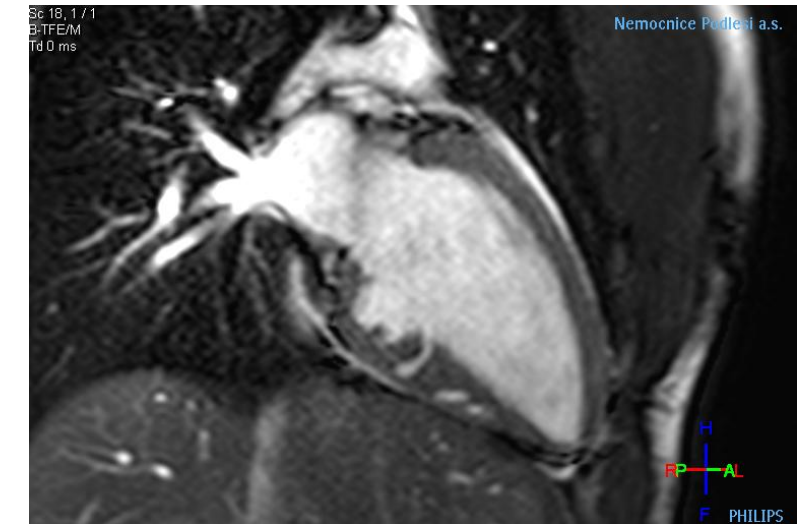
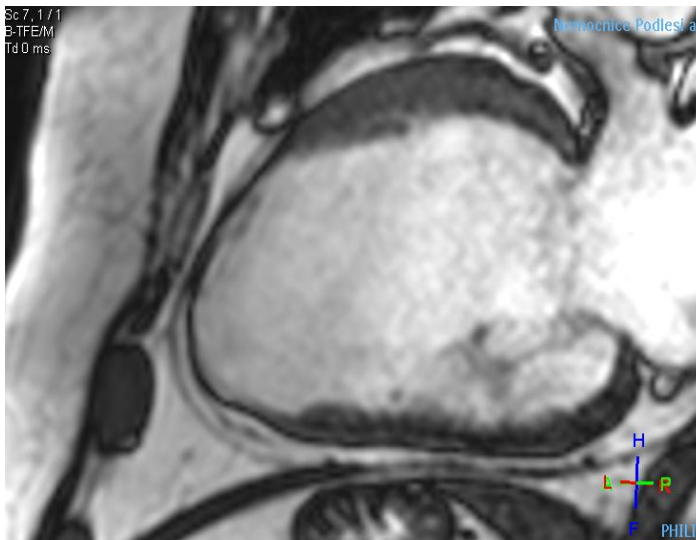


MRI hodnocení diastolické funkce

Tabulka 3.1 – Definice srdečního selhání se zachovanou ejekční frakcí (HFpEF), s ejekční frakcí ve středním pásmu (HFmrEF) a sníženou ejekční frakcí (HFrEF)

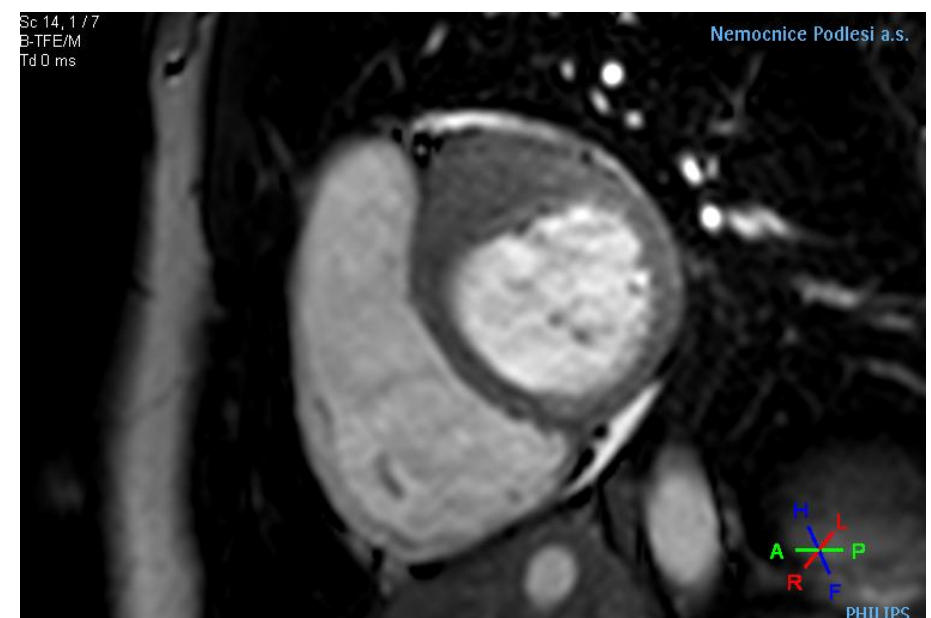
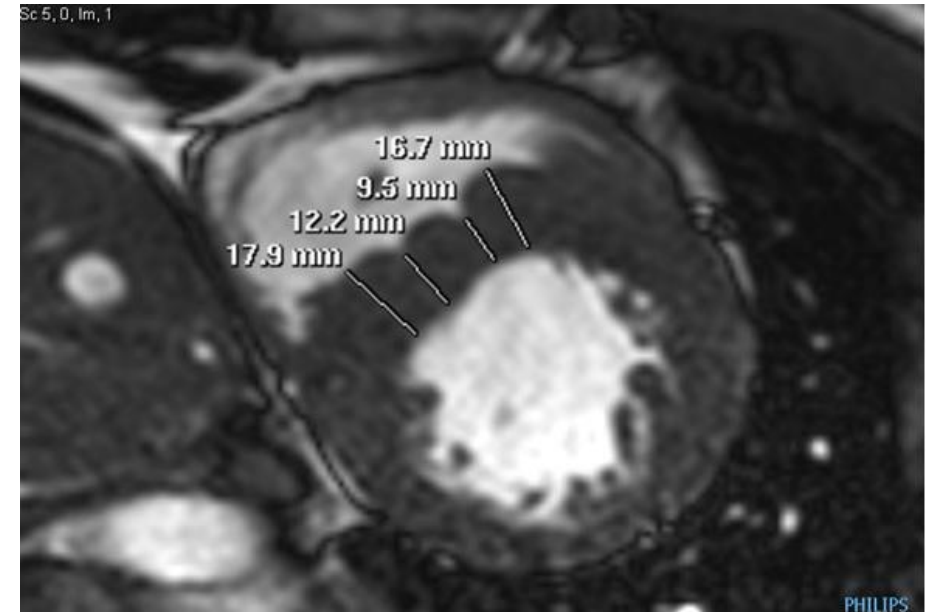
Typ srdečního selhání	HFrEF	HFmrEF	HFpEF
KRITÉRIA	1 Symptomy ± známky ^a	Symptomy ± známky ^a	Symptomy ± známky ^a
	2 EFLK < 40 %	EFLK 40–49 %	EFLK ≥ 50 %
	3 –	Zvýšené hodnoty natriuretických peptidů ^b Alespoň jedno další kritérium: <ul style="list-style-type: none">• významné strukturální onemocnění srdce (HLK a/nebo LAE)• diastolická dysfunkce (detailedly viz oddíl 4.3)	Zvýšené hodnoty natriuretických peptidů ^b Alespoň jedno další kritérium: <ul style="list-style-type: none">• významné strukturální onemocnění srdce (HLK a/nebo LAE)• diastolická dysfunkce (detailedly viz oddíl 4.3)

Diametr stěn



Hypertrofie LK

- maximum hypertrofie a jeho lokalizace
- symetrická/asymetrická
- fokální/difuzní
- kontinuální/nekontinutální



MRI normy

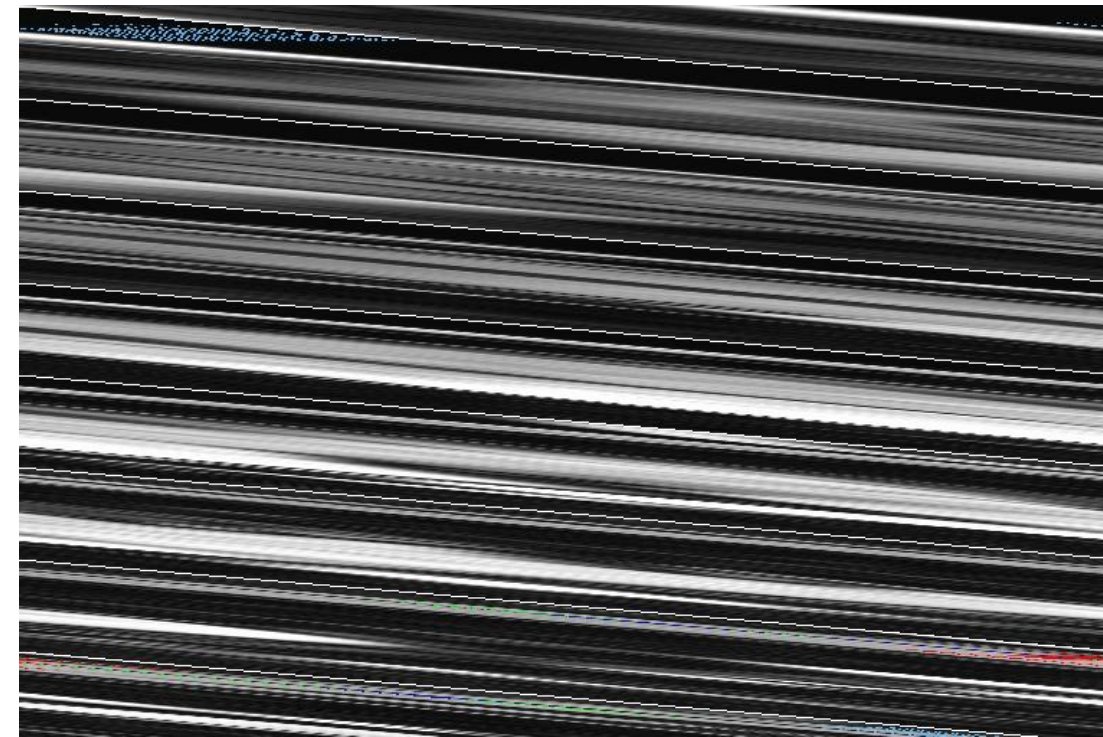
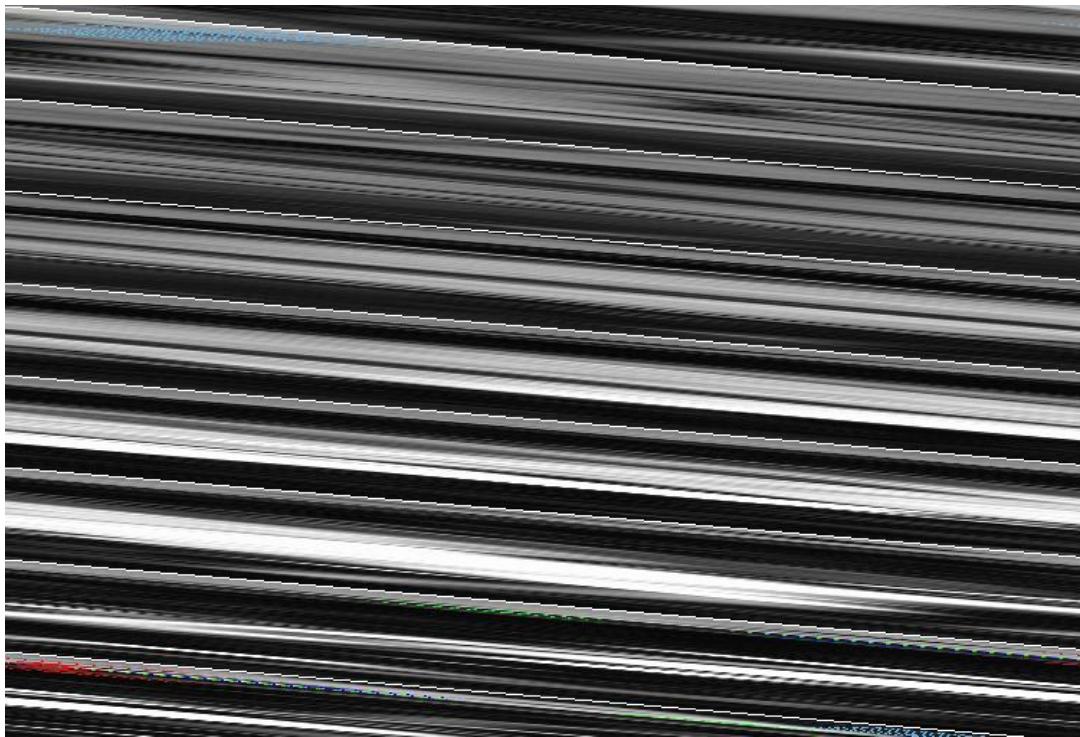
Table 28 Normal left ventricular myocardial thickness in mm measured on short axis images for men and women

Level	Segment	Men			Women		
		mean _p	SD _p	Lower/upper limits*	mean _p	SD _p	Lower/upper limits*
basal	1	8.2	1.1	6.0-10.4	6.7	1.0	4.7-8.7
	2	9.6	1.1	7.4-11.8	7.9	1.0	5.9-9.9
	3	9.2	1.1	7.0-11.4	7.5	1.0	5.5-9.5
	4	8.1	1.1	5.9-10.3	6.6	1.0	4.6-8.6
	5	7.3	1.1	5.1-9.5	6.0	1.0	4.0-8.0
	6	7.4	1.1	5.2-9.6	6.1	0.9	4.3-7.9
mid-cavity	7	6.7	1.1	4.5-8.9	5.7	1.0	3.7-7.7
	8	7.7	1.1	5.5-9.9	6.4	1.0	4.4-8.4
	9	8.2	1.1	6.0-10.4	6.9	1.0	4.9-8.9
	10	7.0	1.1	4.8-9.2	5.9	1.0	3.9-7.9
	11	6.2	1.1	4.0-8.4	5.2	0.9	3.4-7.0
	12	6.4	1.1	4.2-8.6	5.4	1.0	3.4-7.4
apical	13	6.7	1.1	4.5-8.9	6.4	1.0	4.4-8.4
	14	7.3	1.1	5.1-9.5	6.3	1.0	4.3-8.3
	15	6.2	1.1	4.0-8.4	5.4	1.0	3.4-7.4
	16	6.3	1.1	4.1-8.5	5.9	1.0	3.9-7.9

Pooled weighted mean values from references [29,30].

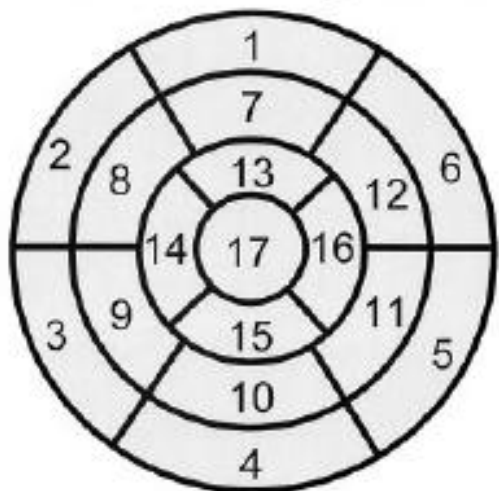
mean_p = pooled weighted mean; SD_p = pooled standard deviation; * = calculated as mean_p ± 2*SD_p; Segments: 1 = basal anterior, 2 = basal anteroseptal, 3 = basal inferoseptal, 4 = basal inferior, 5 = basal inferolateral, 6 = basal anterolateral, 7 = mid anterior, 8 = mid anteroseptal, 9 = mid inferoseptal, 10 = mid inferior, 11 = mid inferolateral, 12 = mid anterolateral, 13 = apical anterior, 14 = apical septal, 15 = apical inferior, 16 = apical lateral.

Kinetika stěn LK



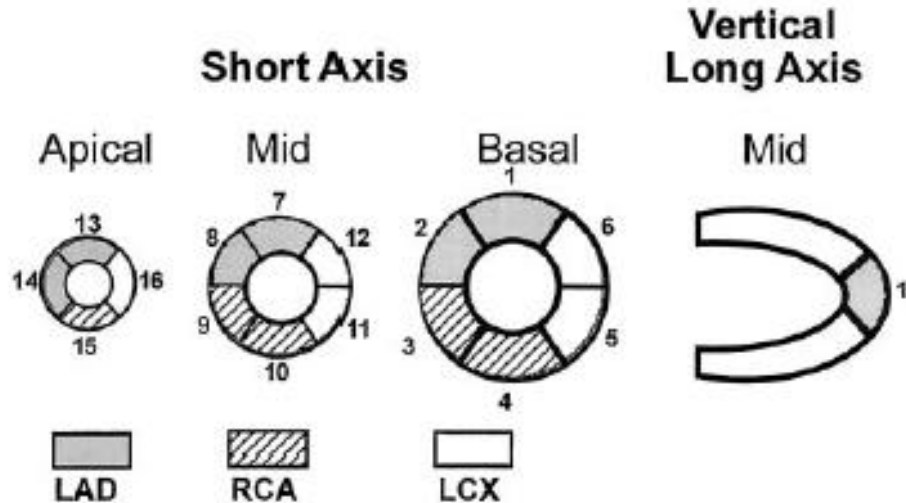
Hodnocení

Left Ventricular Segmentation

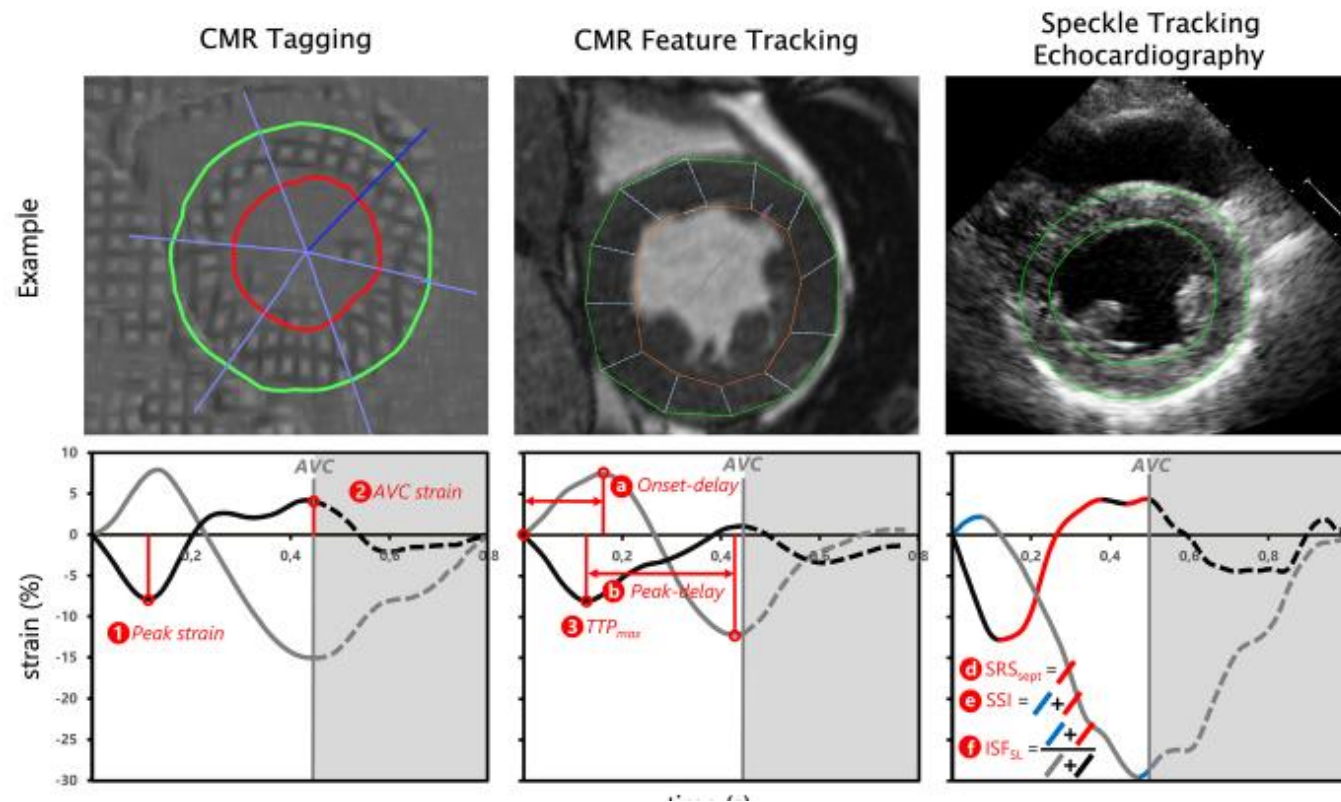


- | | | |
|------------------------|-----------------------|---------------------|
| 1. basal anterior | 7. mid anterior | 13. apical anterior |
| 2. basal anteroseptal | 8. mid anteroseptal | 14. apical septal |
| 3. basal inferoseptal | 9. mid inferoseptal | 15. apical inferior |
| 4. basal inferior | 10. mid inferior | 16. apical lateral |
| 5. basal inferolateral | 11. mid inferolateral | 17. apex |
| 6. basal anterolateral | 12. mid anterolateral | |

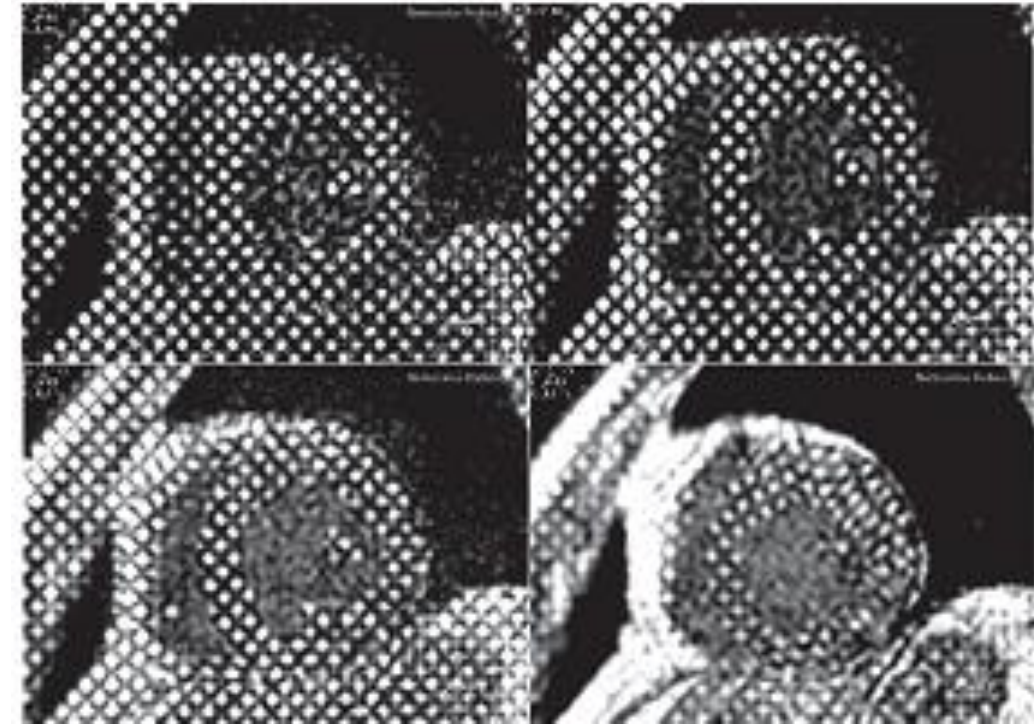
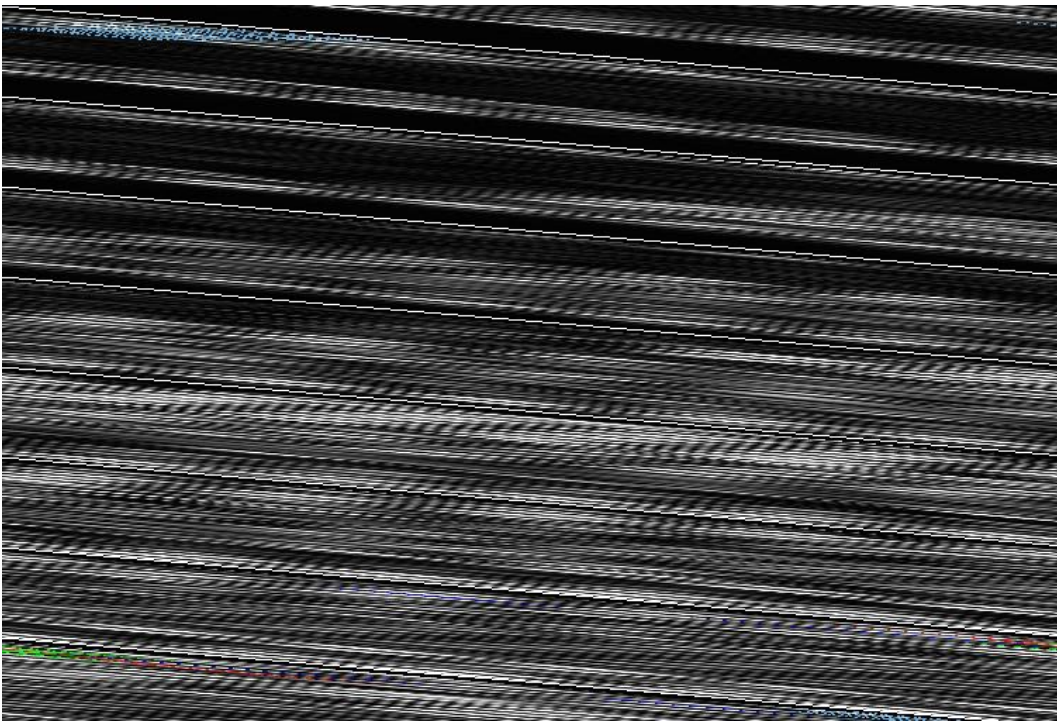
Coronary Artery Territories



Deformace myokardu



Tagging

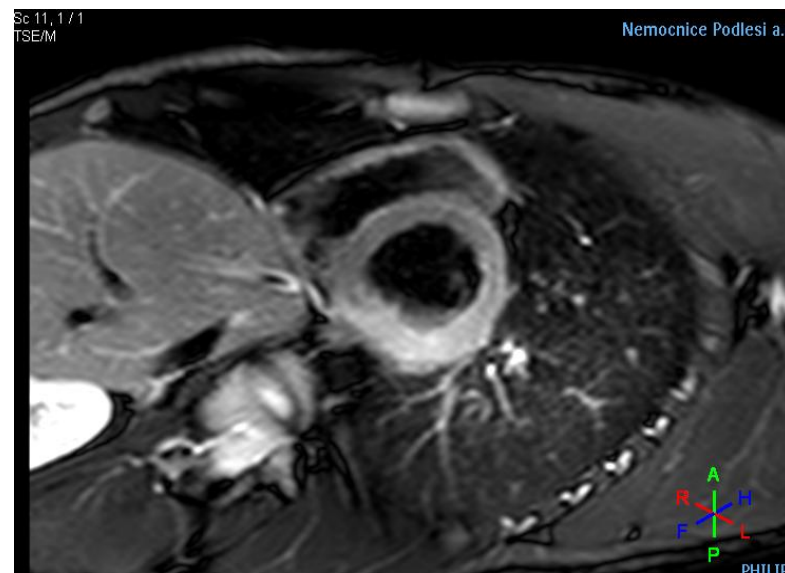


Tkáňová charakteristika myokardu LK

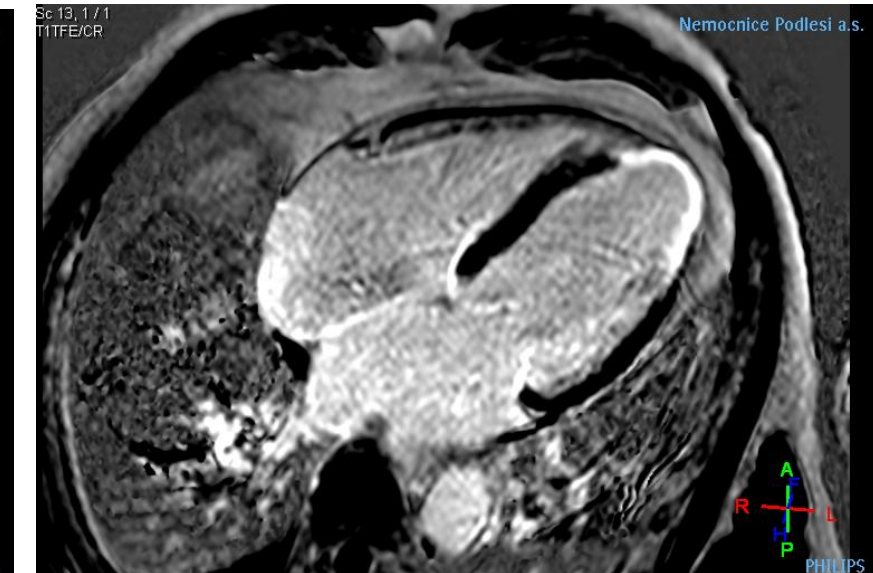
Standardní („neparametrické“) sekvence



T1W



T2W



LGE

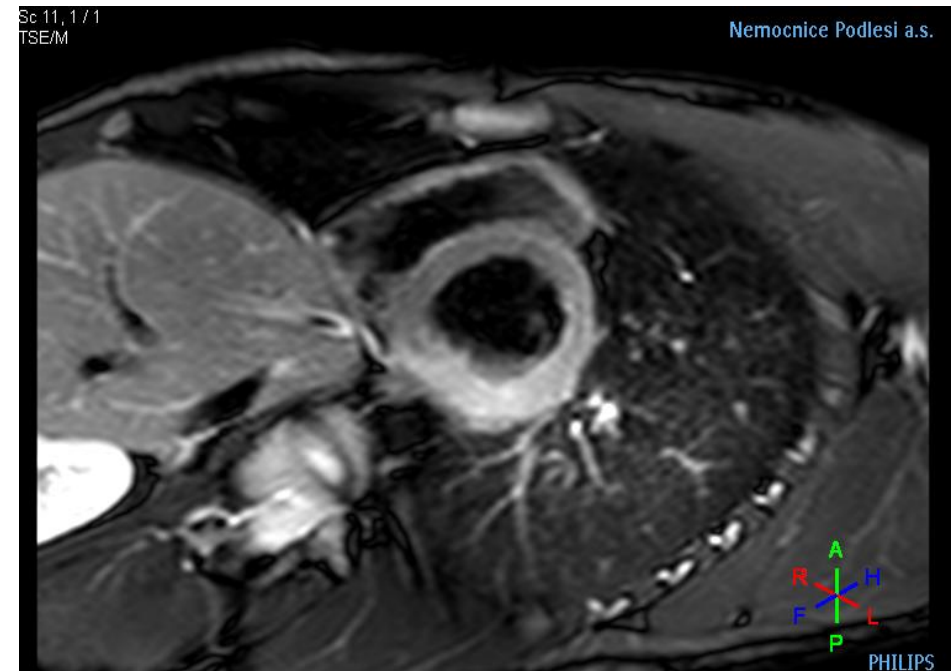
T1W obrazy – tuk v myokardu LK

- fyziologicky
- arytmogenní kardiomyopatie
- tuková metaplázie IM (starší 6 měsíců)
- lipom, liposarkom
- tuberózní skleróza
- muskuloskeletální dystrofie
- DCM, HCM (raretně)

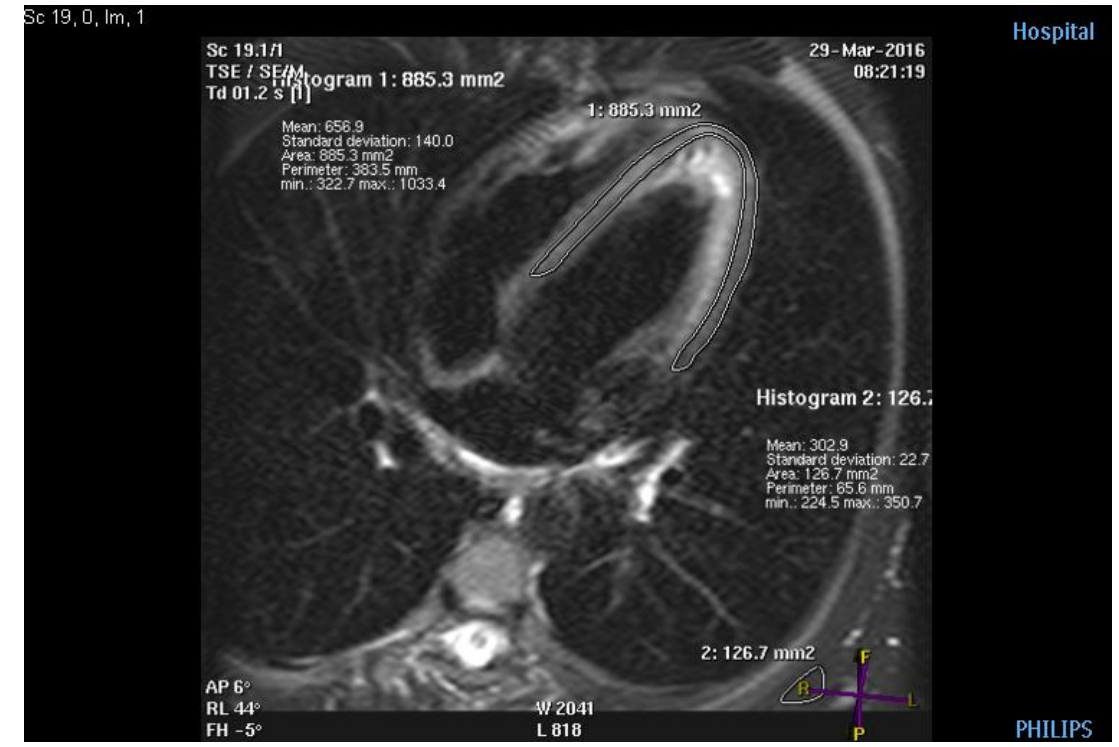
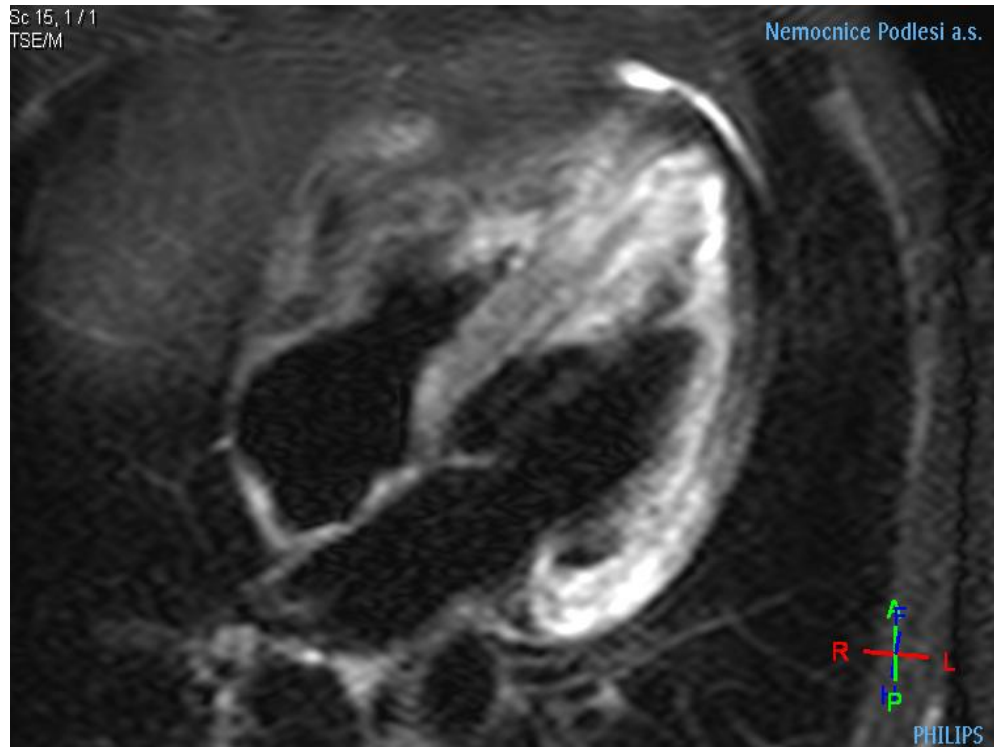


Edém myokardu LK

- AIM
- akutní myokarditis (včetně sarkoidózy)
- stresová KMP
- kontuze myokardu
- RF ablace



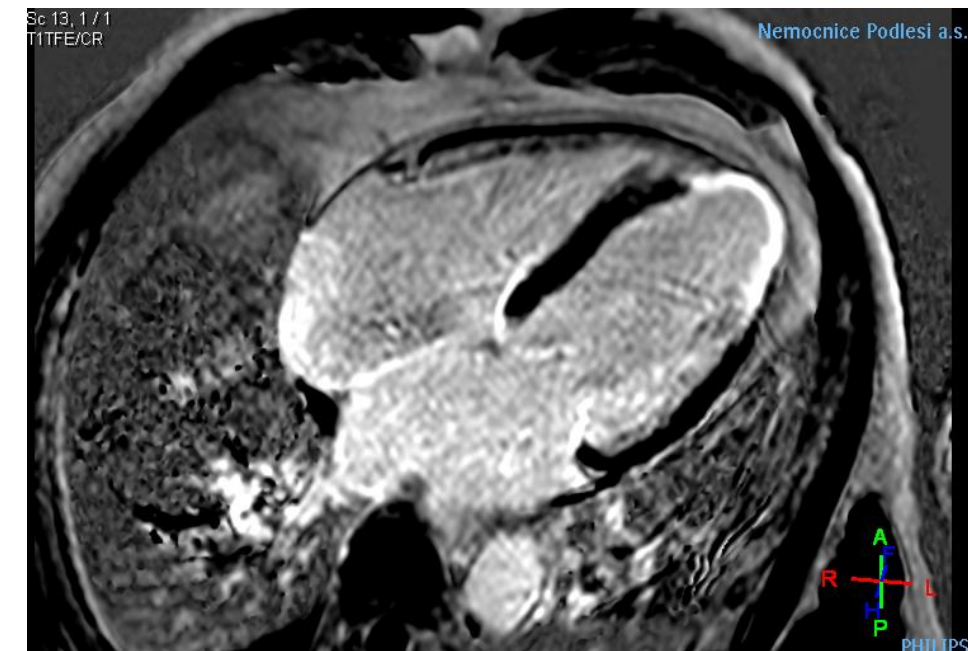
T2W obrazy – lokální a globální edém



Edema ratio (SI myokardu/SI kosterního svalu) $\geq 2,0$

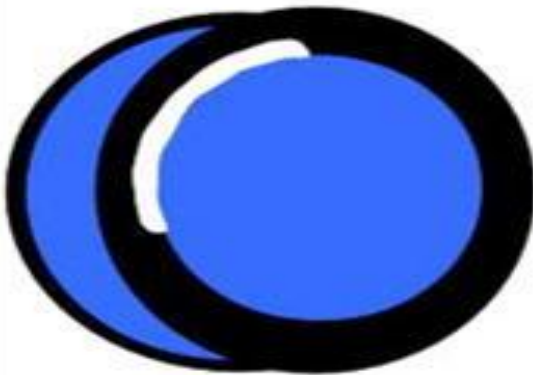
Pozdní sycení (LGE)

- MR kontrast (chelát gadolinia) má rozdílnou kinetiku ve viabilním myokardu a v jizvě
- zpomalený wash-in a wash-out
- pozdní scany s „vynulováním“ signálu zdravého myokardu
- nespecifický jev (fibróza, nekroza, amyloid)

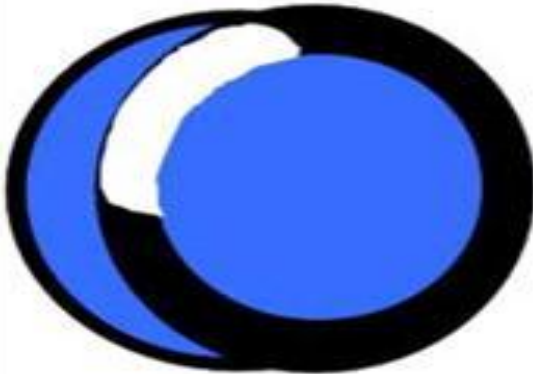


Ischemic

A Subendocardial Infarct

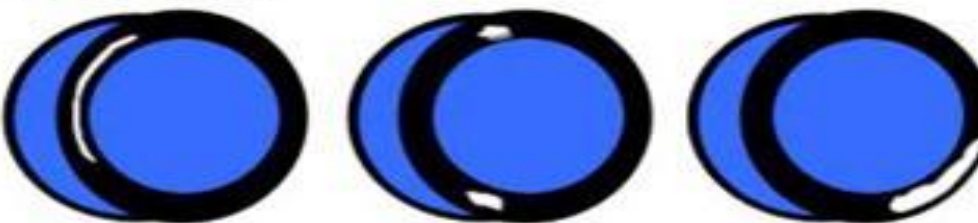


B Transmural Infarct



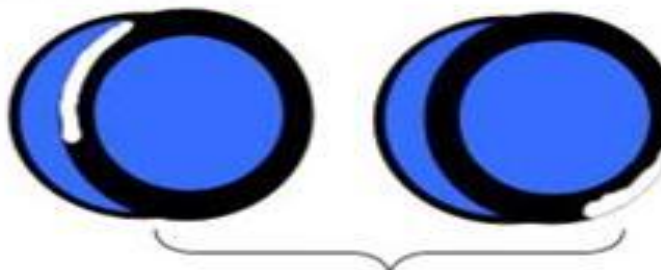
Nonischemic

A Mid-wall HE



- Idiopathic Dilated Cardiomyopathy
- Myocarditis
- Hypertrophic Cardiomyopathy
- Right ventricular pressure overload (e.g. congenital heart disease, pulmonary HTN)
- Sarcoidosis
- Myocarditis
- Anderson-Fabry
- Chagas Disease

B Epicardial HE



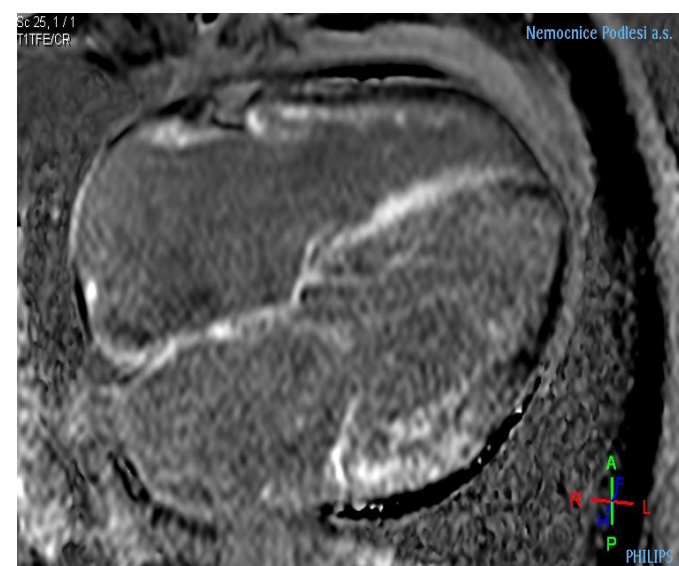
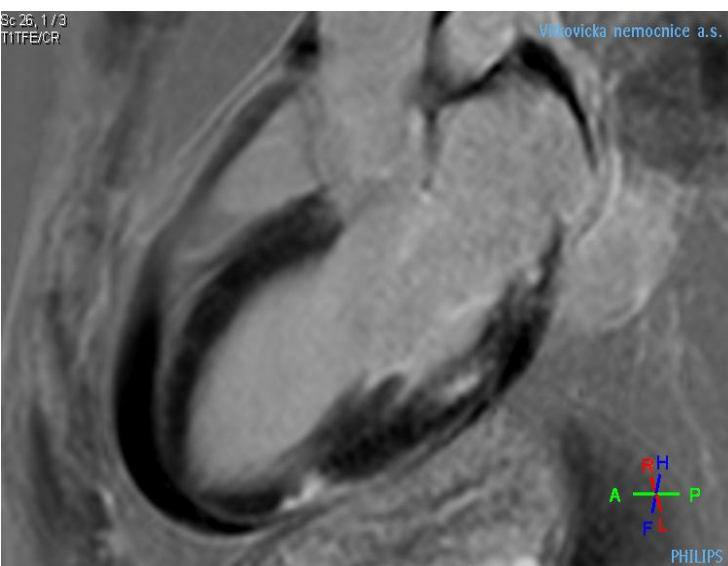
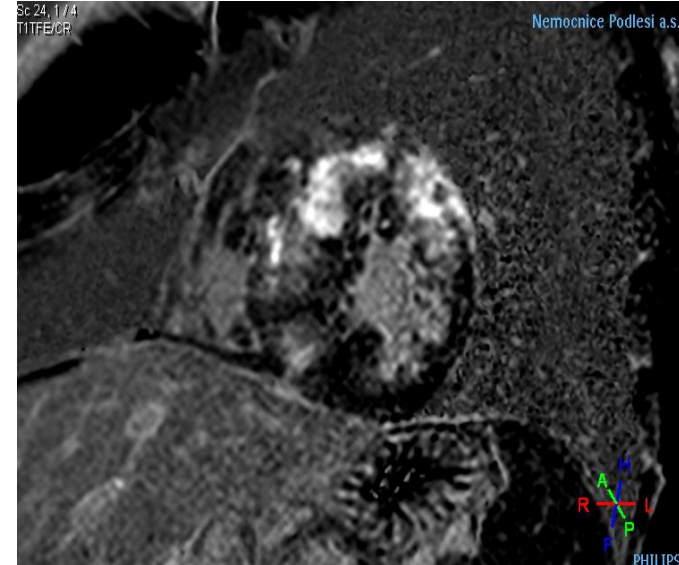
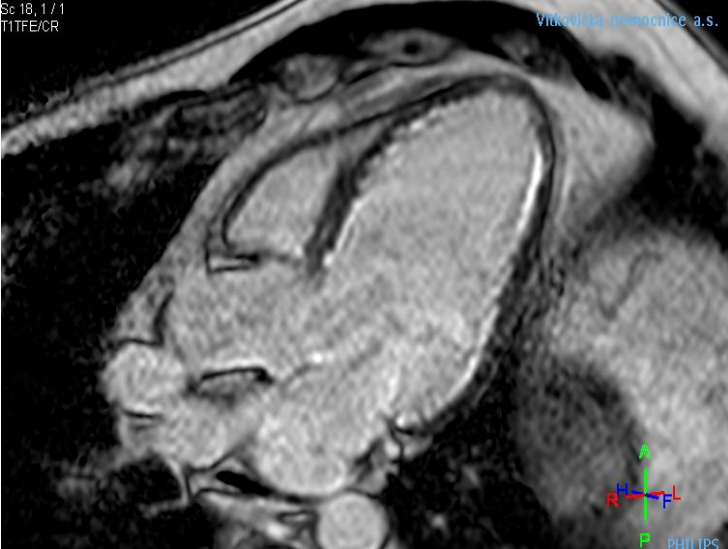
- Sarcoidosis, Myocarditis, Anderson-Fabry, Chagas Disease

C Global Endocardial HE



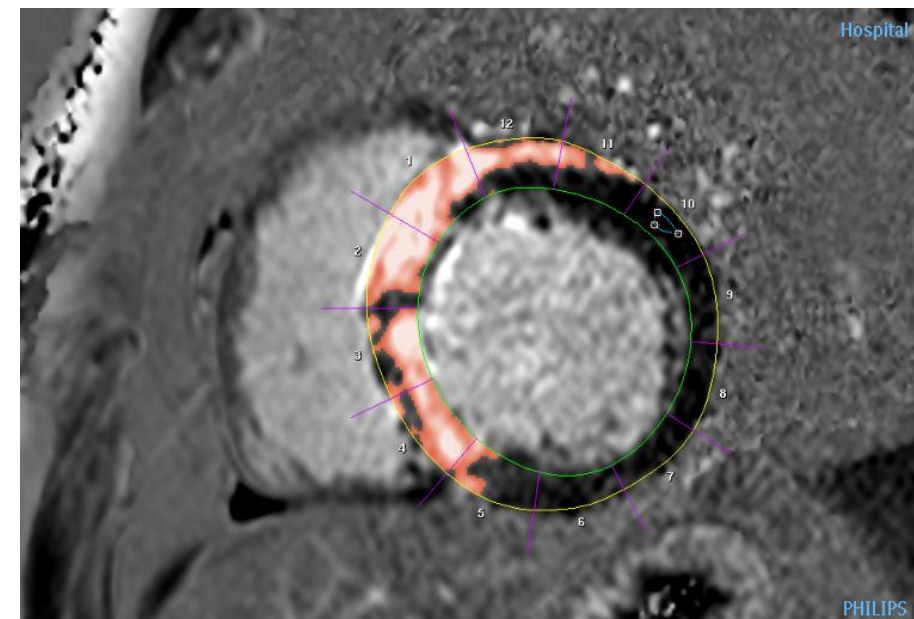
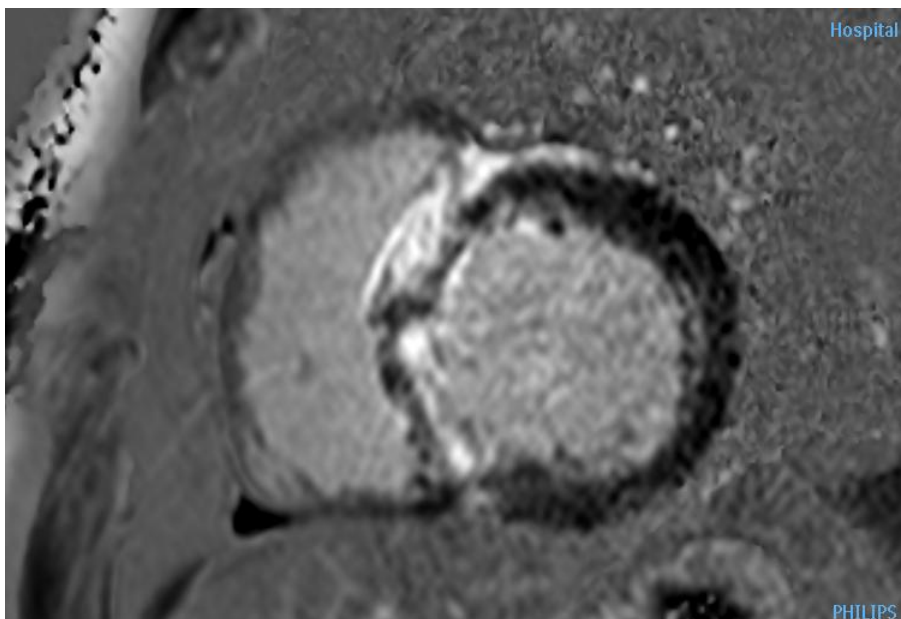
- Amyloidosis, Systemic Sclerosis, Post cardiac transplantation

LGE



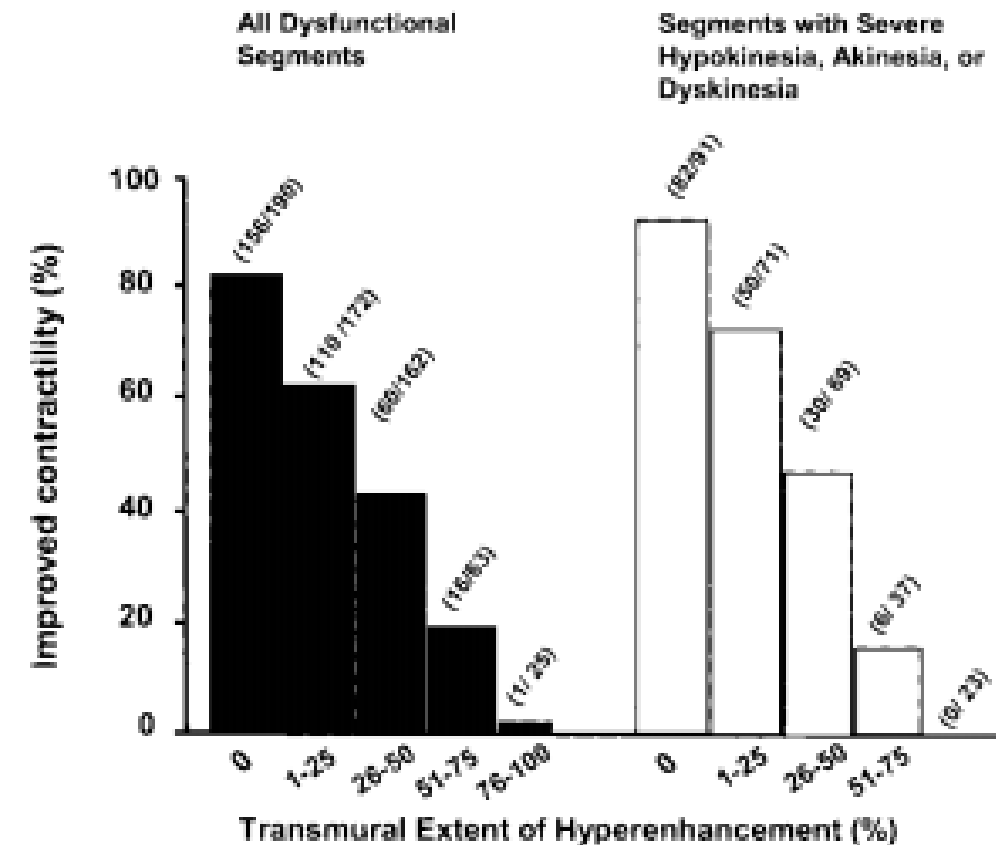
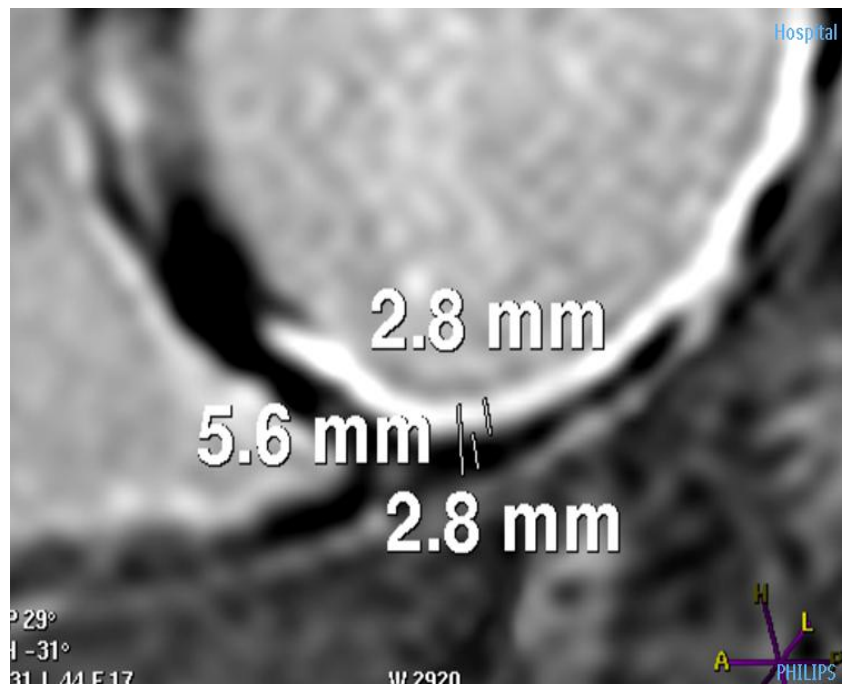
Hodnocení LGE

- lokalizace a charakter (fokální, difuzní atd.)
- ischemické x neischemické etiologie
- kvantifikace: pomocí „n“-SD (vizuální korekce)



LGE – Index transmurality (IT)

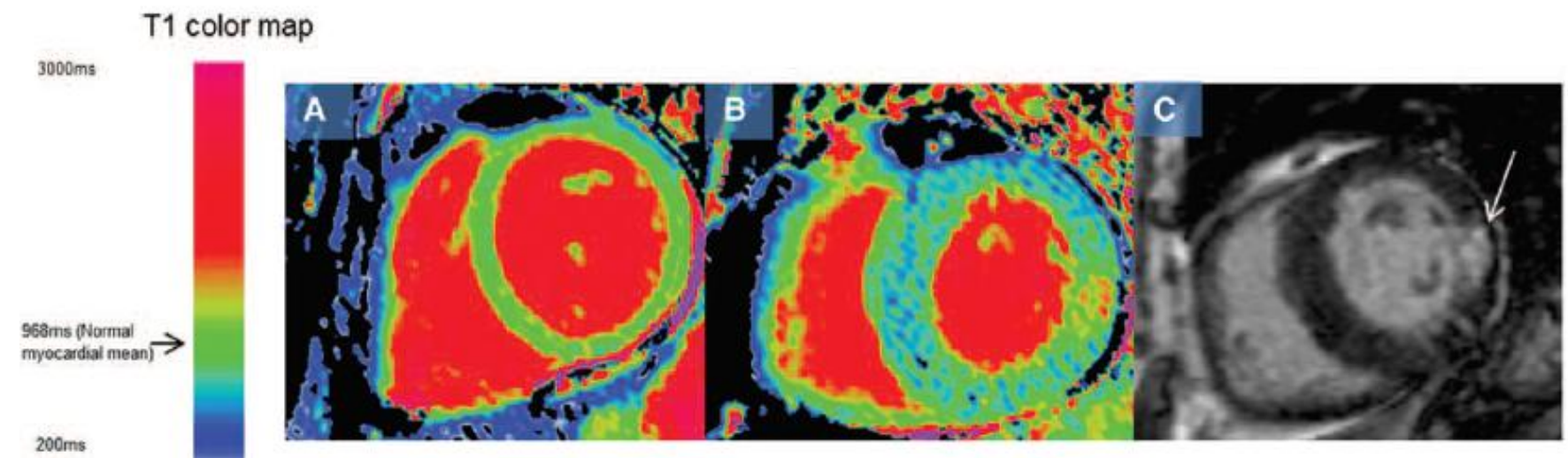
- Cutt-off hodnota IT = 50 %



Tkáňová charakteristika myokardu LK

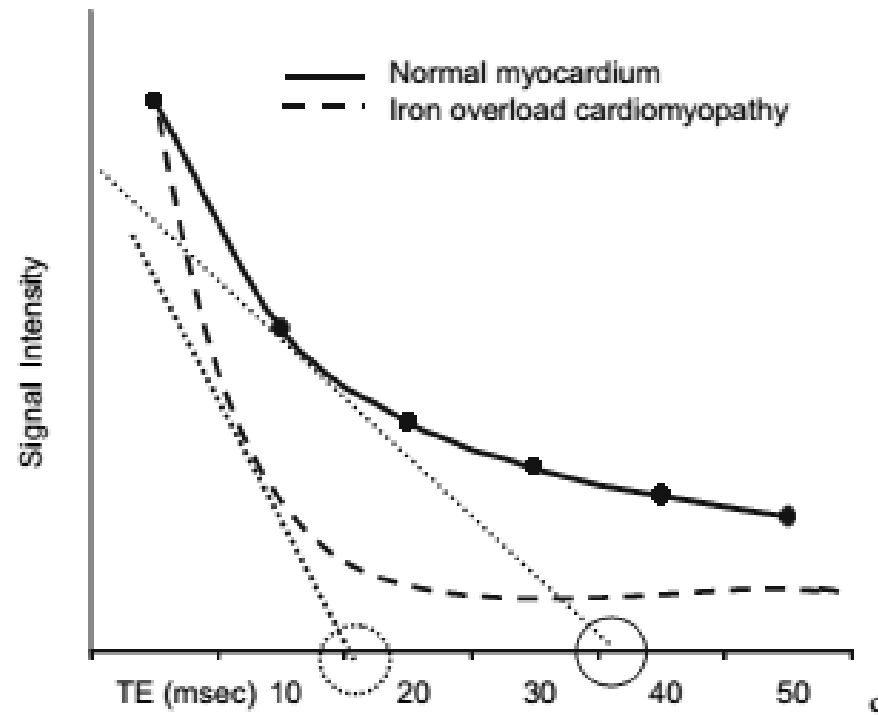
Parametrické sekvence

- T2*
- T1 mapping
- T2 mapping



Hemochromatóza

- T2* – norma $33,3 \pm 7,8$ ms
- T2*< 20ms – zvýšené množství Fe v myokardu



T1 mapping

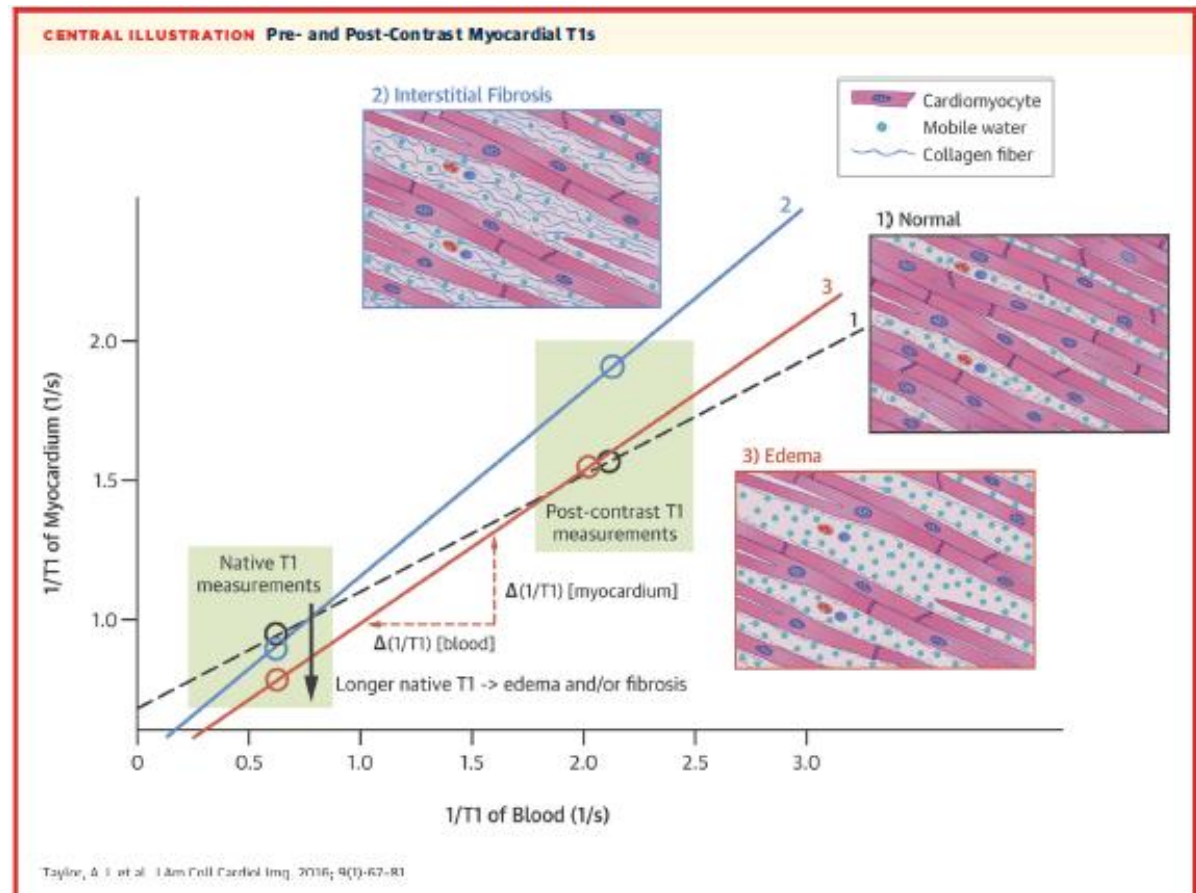
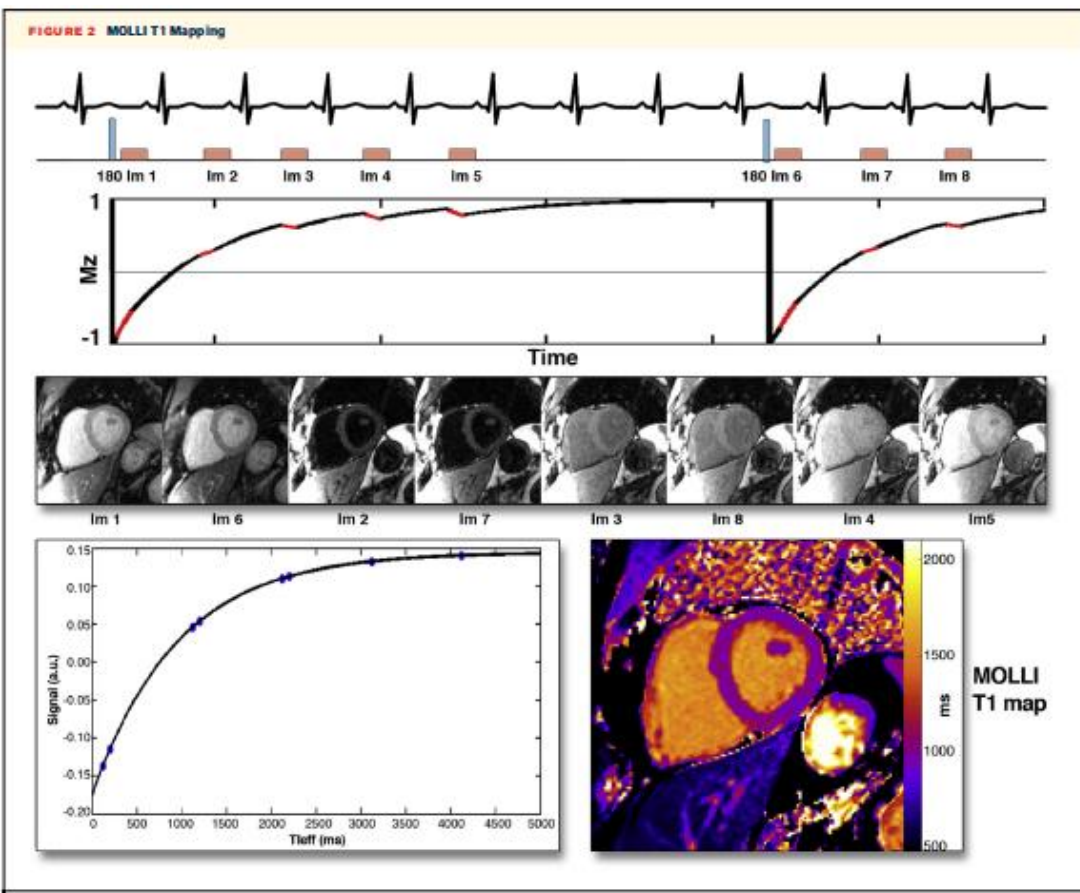
Předkontrastně:

- přesné stanovení T1 relaxačního času myokardu
- 950 ± 21 ms (pro přístroje o síle 1,5 Tesla)
- zvýšení: edém myokardu, přítomnosti fibrózy či infiltrace amyloidem
- snížení: Fabryho choroba, sideróza

Postkontrastně:

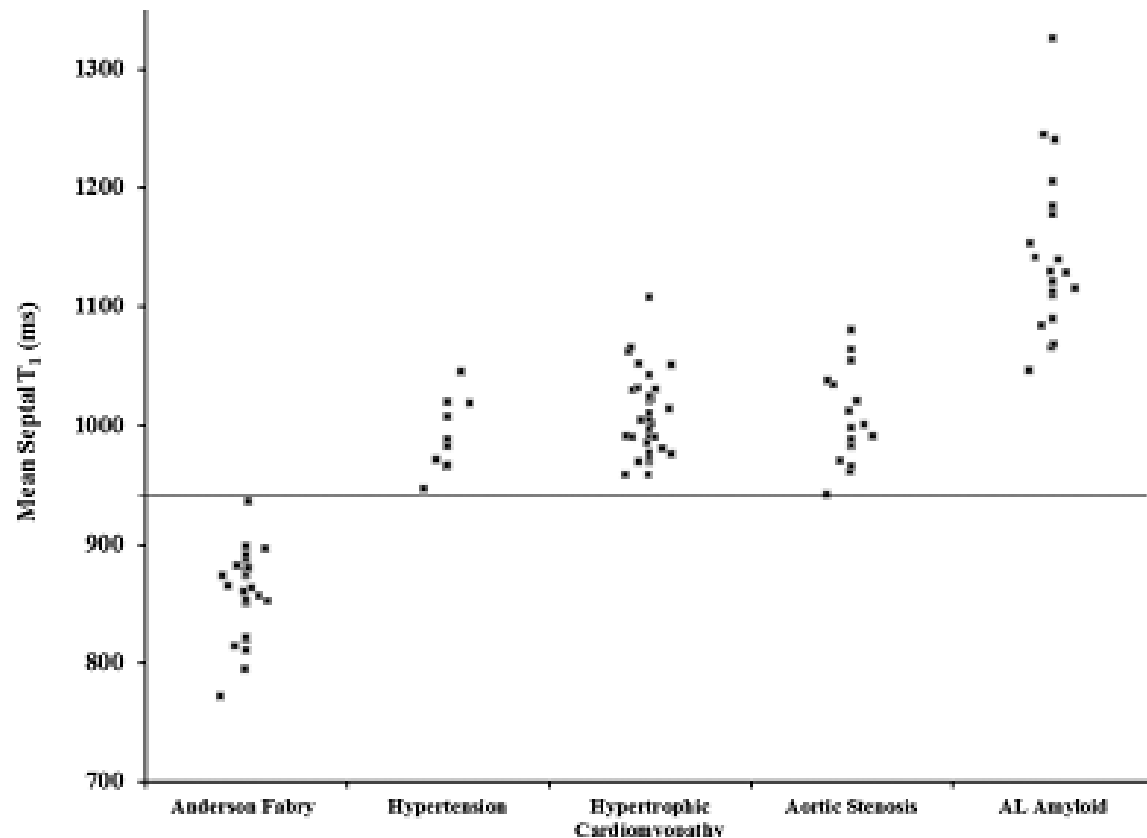
- ECV (extracelulární objem/frakce): podíl extracelulárního objemu k celkovému objemu myokardu LK
- přítomnost fibrózy (difuzní) či amyloidu (nepoužívá se pro detekci edému).
- pro výpočet je nutné měřit T1 relaxační čas myokardu a krve před a 15 minut po podání kontrastní látky a také znát aktuální hodnotu hematokritu
- normální hodnota ECV je $0,25 \pm 0,04$ (1,5 Tesla)

T1 mapping

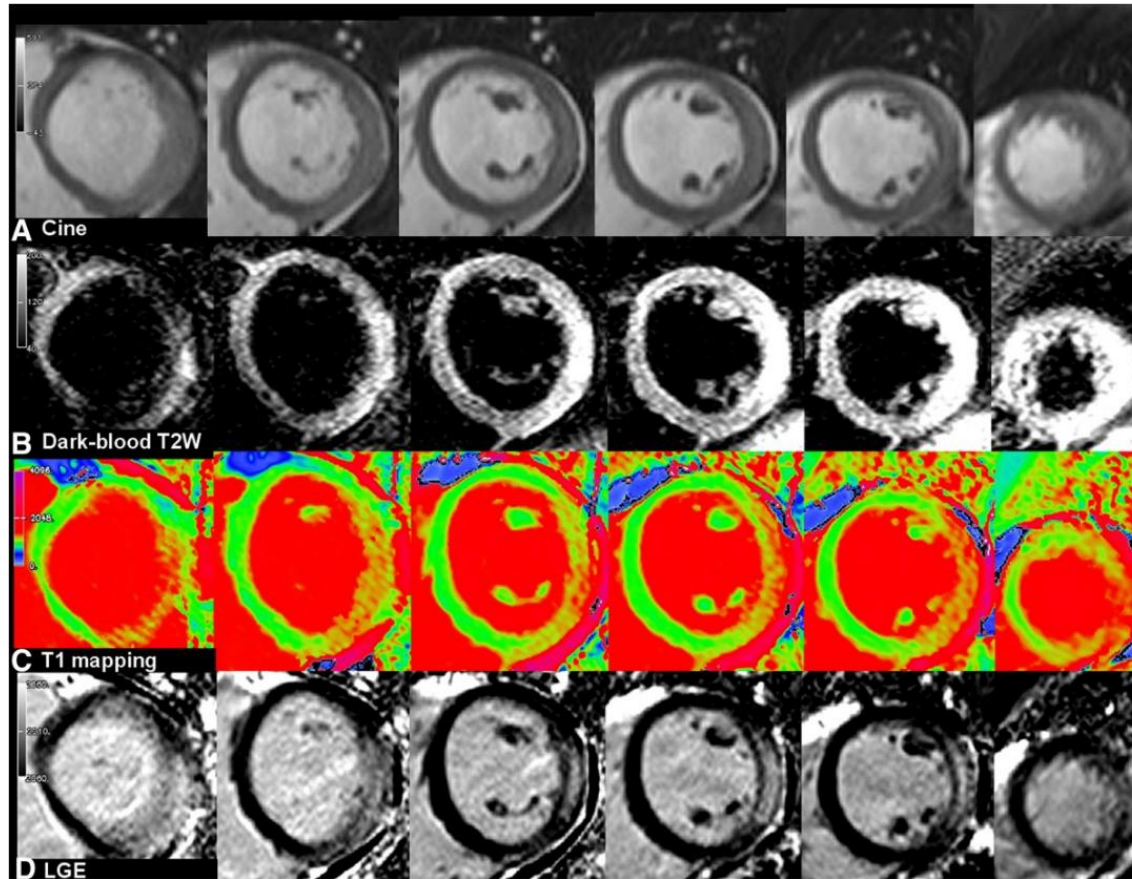


Identification and Assessment of Anderson-Fabry Disease by Cardiovascular Magnetic Resonance Noncontrast Myocardial T₁ Mapping

Daniel M. Sado, MRCP; Steven K. White, MRCP; Stefan K. Piechnik, PhD;
Sanjay M. Banypersad, MRCP; Thomas Treibel, MRCP; Gabriella Captur, MRCP;
Marianna Fontana, MD; Viviana Maestrini, MD; Andrew S. Flett, MD; Matthew D. Robson, PhD;
Robin H. Lachmann, PhD, FRCP; Elaine Murphy, FRCPath; Atul Mehta, FRCP;
Derralynn Hughes, DPhil; Stefan Neubauer, MD; Perry M. Elliott, MD; James C. Moon, MD



T1 mapping



T1 mapping

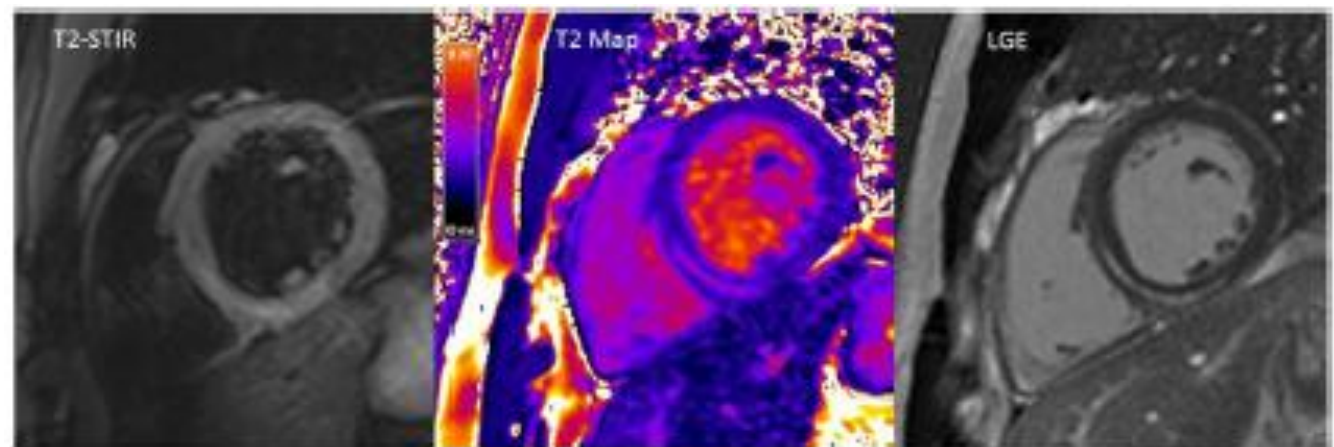
Table 2 Diagnostic performance of CMR tissue characterization methods in the detection of suspected acute myocarditis

Tissue criteria	Sensitivity (%)	Specificity (%)	Accuracy (%)	PPV (%)	NPV (%)
Individual					
T1-mapping*	90	88	89	90	88
Dark-blood T2*	48	86	66	81	58
LGE	72	97	81	98	67
Combination (with LGE)					
Dark-blood T2 and LGE (2 out of 2) ^{†‡}	45	97	64	96	51
Dark-blood T2 or LGE (Any 1 of 2)	75	86	79	90	67
T1-mapping and LGE (2 out of 2) [†]	67	97	78	98	63
T1-mapping or LGE (Any 1 of 2)	95	83	91	91	91
T1-mapping, dark-blood T2 or LGE (Any 1 of 3)	95	71	86	85	89
T1-mapping, dark-blood T2 or LGE (Any 2 of 3)	70	97	80	98	65
T1-mapping and dark-blood T2 and LGE (3 out of 3)	45	97	64	96	51
Combination (without LGE)					
T1-mapping and dark-blood T2 (2 out of 2) [‡]	48	98	71	97	61
T1-mapping or dark-blood T2 (Any 1 of 2)	90	76	84	82	86

*statistically different ($p < 0.05$); †‡no statistical difference ($p = ns$). T1-mapping: myocardial injury is detected when T_1 is ≥ 990 ms; Dark-blood T2-weighted imaging: edema is diagnosed when the T_2 SI ratio (T_2 SI_{myocardium} : skeletal muscle) is $\geq 2:1$; Late gadolinium enhancement (LGE) is detected when myocardial SI is ≥ 2 SD above mean SI of remote myocardium. For each technique, only contiguous areas of myocardium ≥ 40 mm² above the stated threshold were considered relevant; involvement of $\geq 5\%$ of any segment on a per-subject basis was the threshold used for comparison of methods. PPV = positive predictive value; NPV = negative predictive value.

T2 mapping

- T2 relaxační čas < 60 ms
- využití stejné jako pro T2W obrazy
- přesnější v diagnostice zánětlivé KMP
- *akutní rejekce*
- *kardiotoxicita chemoterapie*



MRI hodnocení LK

Standardní hodnocení:

- velikost a systolická funkce
- hypertrofie stěn (charakter)
- regionální poruchy kinetiky
- signálové změny myokardu LK
 - předkontrastní (edém...)
 - postkontrastní (LGE)

Nadstandardní hodnocení:

- strain rate (tagging, feature tracking)
- parametrické metody
 - T2*
 - T1 mapping
 - T2 mapping

Odborné stanovisko

Indikační kritéria MRI srdce a jejich časový harmonogram

Společné odborné stanovisko České kardiologické společnosti a Radiologické společnosti
České lékařské společnosti Jana Evangelisty Purkyně

Martin Pleva^{1,2}, Jiří Weichert³, Tomáš Paleček⁴, Jan Baxa⁵, Theodor Adla⁶,
Dana Kautznerová⁷, Šárka Bohatá⁸

¹Komplexní kardiovaskulární centrum, Nemocnice Podlesí a.s., Třinec

²Vaskulární centrum, Vítkovická nemocnice, a.s., Ostrava

³Radiodiagnostická klinika Fakultní nemocnice Královské Vinohrady a 3. lékařské fakulty
Univerzity Karlovy v Praze, Praha

⁴II. interní klinika- klinika kardiologie a angiologie Všeobecné fakultní nemocnice a 1.
lékařské fakulty Univerzity Karlovy v Praze, Praha

⁵Klinika zobrazovacích metod Fakultní nemocnice Plzeň a Lékařské fakulty Univerzity
Karlovych v Plzni, Plzeň

⁶Klinika zobrazovacích metod Fakultní nemocnice Motol a 2. lékařské fakulty Univerzity
Karlovych v Praze, Praha

⁷Pracoviště radiodiagnostiky a intervenční radiologie, Institut klinické a experimentální
medicíny, Praha

⁸Klinika radiologie a nukleární medicíny, Fakultní nemocnice Brno a Lékařská fakulta
Masarykovy univerzity, Brno

Mezioborové symposium nad srdeční tomografií



30.3.2019, FN Motol, Praha

Děkuji Vám za pozornost